Appendices

Appendix A

Notation and symbols

We use a type of symbol per type of mathematical object. Some exceptions for conventional notations are made (i.e. the k in kNN algorithms is not a Greek letter like our other parameters).

Constants are referenced through *uppercase* letters (except the conventional n, p and c)

- n number of records
- p number of variables
- c number of classes
- F number of folds
- R number of repetitions
- P, Q number of supervised and unsupervised algorithms
- M number of meta-algorithms
- D number of data-sets

Indices are done with *lowercase* letters

- i node on a graph
- j node on a graph
- $j \sim i$ nodes j connected to node i
- d variables
- k classes
- f folds
- r repetitions
- a algorithms

Sets are referenced through *caligraphic* letters

- $\mathbb{R}$, $\mathbb{N}$, $\mathbb{Z}$ real-, natural- and integer numbers
- $[0, 1]$ real numbers between 0 and 1 included
- $\{1, \ldots, n\}$ set containing elements 1 to n
- $\mathcal{X}$ data-set $\mathcal{X} = \{\mathbf{x}_1, \ldots, \mathbf{x}_n\} = \mathcal{L} \cup \mathcal{U} \cup \mathcal{T}$
  - $\mathcal{L}$ labeled training-set $\{\mathbf{x}_1, \ldots, \mathbf{x}_l\}$
  - $\mathcal{U}$ unlabeled training-set $\{\mathbf{x}_{l+1}, \ldots, \mathbf{x}_{l+u}\}$
  - $\mathcal{T}$ test-set $\{\mathbf{x}_{l+u+1}, \ldots, \mathbf{x}_n\}$
- $\mathcal{Y}$ label-set

- $\mathcal{Y}_\mathcal{L}$ training labels $\{y_1, \ldots, y_l\}$
- $\mathcal{Y}_\mathcal{T}$ test labels $\{y_{l+u+1}, \ldots, y_n\}$

- $\mathcal{N}_i$ set of nearest neighbors of node i
- $|\mathcal{S}|$ cardinality of a set $\mathcal{S}$

Parameters are referenced through *greek* letters

- $\ell \in [0.1]$ proportion of labeled training records $l \approx \ell \times n$
- $\upsilon \in [0.1]$ proportion of unlabeled training records $u \approx \upsilon \times n$
- $\tau \in [0.1]$ proportion of test records $t \approx \tau \times n$
- $\alpha \in [0.1]$ label propagation parameter
- $k \in \mathbb{N}$ number of neighbors in kNN
- $b \in \mathbb{N}$ number of neighbors in b-matching
- $\theta \in [0.1]$ classification threshold in algorithms [Self], [Simple], [Hybrid]
- $\xi \in [0.1]$ agreement threshold in algorithm [Ext]
- $\phi \in \mathbb{N}$ minimum label batch size in algorithms [Self], [Hybrid], [Ext]
- $\psi \in \mathbb{N}$ iterations limit in algorithms [Self], [Hybrid], [Ext]

Matrices and vectors are referenced through *bold* letters

- $\mathbf{x} \in \mathbb{R}^p$ records
- $\mathbf{W} \in \mathbb{R}^{n \times n}$ adjacency matrix that represents a graph $\mathcal{G}$
- $\mathbf{D} \in \mathbb{R}^{n \times n}$ diagonal matrix containing node degrees
- $\mathbf{L} \in \mathbb{R}^{n \times n}$ graph Laplacian matrix
- $\mathbf{d} \in \mathbb{R}^{n \times n}$ distance/dissimilarity matrix
- $\mathbf{F} \in \mathbb{R}^{n \times c}$ label scoring matrix (in the general case)
- $\mathbf{F} \in [0,1]^{n \times c}$ label confidence matrix (confidences sum to one for each record)
- $\mathbf{Y} \in \{0,1\}^{n \times c}$ label matrix
- $\mathbf{Z} \in \mathbb{R}^{n \times c}$ adjusted label matrix
- $\hat{\mathbf{Y}} \in \{0,1\}^{n \times c}$ estimated label matrix
- $\mathbf{C} \in \mathbb{N}^{c \times c}$ confusion matrix
- $\mathbf{s} \in \mathbb{R}^n$ local scaling parameters
- $\sigma \in \mathbb{R}^p$ optimized AEW parameters

Algorithms are referenced through *fraktur* letters or their names (i.e. [Self])

- $\mathfrak{A}$ generic algorithm (usually supervised learning)
- $\mathfrak{G}$ graph-based learning algorithm
- $\mathfrak{M}$ meta-algorithm, a wrapper that contains multiple algorithms

Appendix B

Matlab implementation

The Matlab code interacts with the user through the console, there is no GUI. The entire experimental setup can be launched by invoking the script `main.m`. The data-set and the parameters of the experimental setup and of the algorithms must be chosen at the beginning (default values are available). In order to test another data-set, the main script must be relaunched. The code comments are rather detailed and contain also file headers for the functions that can be called through `help functionName`. The following explains the modularity of the code, performance considerations and the output of the script.

Modularity

- `main.m`
  The main script handles the experimental setup. It calls a data-set choice script at the beginning and a performance evaluation script at the end.
  - `choice.m`
  - `perfEval.m`
- Meta algorithms
  The 7 meta algorithms are stored each in a separate script file and exchange data with the main script. Variables that they created for internal use are deleted at the end of the scripts. Some results can be reused by the other scripts and are stored. The order in which those scripts are launched should play no role.
  - `transduc.m`
  - `freeze.m`
  - `ext.m`
  - `hybrid.m`
  - `simple.m`
  - `self.m`
  - `induc.m`
    * `shape.m` reshapes the output of the `TreeBagger` function for random forests from the Matlab library if necessary.

- Graph-based learning
  Since the three phases of graph-based learning are called often, with regard to different records and in iterative manner, it was more prudent to make them functions instead of scripts. Each function has obligatory and optional input- and output arguments and default values for the optional arguments. Some precautions were taken to make the functions robust against suboptimal input data. The functions also print to the console.
  - `graphConst.m` computes the dissimilarity measures (through an external library function) and sparsifies the graph accordingly.
    * `daisy.m` from Verboven and Hubert (2010) pre-scales the data, hands them to the following binary files and receives the dissimilarity measures.
      Slightly modified version that also outputs pre-scaled data for further usage in `aew.m`
    * `daisyc.mexa64` `daisyc.mexw32` and `daisyc.mexw64`
      Binary files for different platforms that contain the actual Gower's computations.
  - `aew.m` optimizes the σ parameters and computes the weighted graph edges.
    * `obj.m` keeps the AEW objective function in its own file.
      The function can do internal parallelization of computations. A variant that computes analytic gradients is currently defective.
  - `labelProp.m` propagates labels and outputs classification confidences.

Performance At the scale of $n \approx 10^4$, AEW is the computational bottleneck. Efforts to make the code faster therefore mostly focus on AEW and include the following:

- Vectorization instead of loops if possible
- Sparse matrix representation if possible
  - Adjacency matrix $\mathbf{W}$
  - Graph Laplacian $\mathbf{L}$
- Parallelization
  - Within an AEW objective function evaluation for large data-sets
  - Across AEW objective function evaluations for smaller data-sets
  - Matlab operations on large matrices such as invert, multiply and sort are parallel per default
  - Random forests are trained with a pool of parallel workers as well
  - There was no need to parallelize our experimental setup across folds
- Memoization
  - Ordering the records in a data-set the same way for all meta algorithms makes it possible to reuse a once constructed graph for [Simple], [Hybrid], [Ext] and [Freeze] within a given fold and repetition.
  - Label propagation is done in two phases: an expensive matrix inversion and a much quicker matrix multiplication. The result of the inversion can be stored and reused because labels are only used during the multiplication.

- These two points apply to [Transduc] across folds and repetitions
- And apply within iterative algorithms [Hybrid] and [Ext]

- Parameter tuning
  The default parameters of `fminunc` (unconstrained BFGS) are inadequate for AEW:
  - Tolerances for optimality, the objective function and step size are set to 10^{-4} instead of the default 10^{-6}. Otherwise, the optimization would waste many iterations finding only minuscule improvements compared to the value of the objective function.
  - There is a hard iterations limit of 100. It is seldom reached and even if that happens, the last iterations before the limit have yielded only tiny improvements.
  - Central differences need to be used instead of forward differences (twice the computations).
  - Function evaluations routinely ran against their default maximum. The limit has been increased.

Output The following data is stored in a `*.mat` file at the end of the script:

All the `trans*` variables are associated with [Transduc] which means that they reflect the whole data-set and are therefore stored. The same kind of variables would change per fold for the other algorithms as they never include $\mathcal{T}$. "confidence inflation" means that $\mathbf{F}$ is not row stochastic at first. When scaling it down, we divide by those inflation factors. All the label iteration trackers log iterations at which training records get labeled. `extAgreementConf` stores the proportion of agreeing algorithms on training-set labels. `extPredConf` stores the confidences of each algorithm for each class when inductively predicting the test-set. `hybridLabelConf` stores the confidences of agreeing algorithms on training-set labels.

Name	Dim.	Type	sparse	Content
Yhat	$n \times c \times M$	double		estimated labels
accuracy	$F \times R \times M$	double		accuracy
classes	n	double		true labels
computationTime	$F \times R \times M$	double		computation time
confidence	$n \times c \times R \times M$	double		label confidence
confus	$c \times c \times R \times M$	double		confusion matrices
extAgreementConf	$n \times F \times R$	double		proportion of agreeing algorithms
extLabelIter	$n \times F \times R$	double		label iteration tracker
extPredConf	$n \times c \times R \times 4$	double		inductive label confidence
folds	$n \times R$	double		fold indices
freezeInflate	$n \times R$	double		confidence inflation
hybridLabelConf	$n \times 2 \times F \times R$	double		training label confidences
hybridLabelIter	$n \times F \times R$	double		label iteration tracker
hyp	6×12	table		hypothesis tests
labeled	$n \times R$	logical		label status
meanAcc	M	double		$\hat{\mu}$ for accuracy
meanPerf	M	double		$\hat{\mu}$ for ROC or F
param	19	struct		algorithm parameters
perf	$F \times R \times M$	double		ROC or F
records	$n \times p$	double		$\mathcal{X}$ mapped to $\mathbb{R}^p$
recordsU	$n \times p$	table		untouched $\mathcal{X}$
selfLabelIter	$n \times F \times R$	double		label iteration tracker
set	22	struct		data-set parameters
simpleLabelIter	$n \times F \times R$	double		label iteration tracker
transBin	$n \times n$	double	x	binary $\mathbf{W}$
transD	$n \times n$	double	x	node degrees
transData	$n \times p$	double		$\mathcal{X}$ mapped to $\mathbb{R}^p$ or $[0,1]^p$
transInflate	$n \times R$	double		confidence inflation
transL	$n \times n$	double	x	Laplacian
transS	n	double		local scaling parameters
transSigma	p	double		$\{\sigma_1, \ldots, \sigma_p\}$
transW	$n \times n$	double	x	weighted $\mathbf{W}$
vartype	p	double		type of each variable

Table B.1: Output objects from the Matlab script
The first column contains the names of the variables.
The second column the dimensions of the object.
Thirdly, we have the type of the data-structure.
Fourthly, whether or not it is a sparse representation.
Finally, a short description of what the content represents.

Appendix C

Tables and plots

Hyp.	alg. 1	alg. 2	rej.	cutoff	p-value	$\hat{\mu}_1$	$\hat{\mu}_2$	$\hat{\mu}_d$	t	$\hat{\sigma}_d$
H1	[Transduc]	[Freeze]	0	0.0167	0.0250	0.8304	0.8384	-0.0079	-2.3646	0.0034
H2	[Freeze]	[Ext]	1	0.0125	0.0000	0.8384	0.8692	-0.0309	-6.4411	0.0048
H3	[Ext]	[Hybrid]	0	0.0250	0.0363	0.8692	0.8641	0.0052	2.1955	0.0024
H4	[Hybrid]	[Simple]	1	0.0083	0.0000	0.8641	0.8848	-0.0207	-7.3531	0.0028
H5	[Simple]	[Self]	0	0.0500	0.3088	0.8848	0.8821	0.0027	1.0360	0.0026
H6	[Self]	[Induc]	1	0.0100	0.0000	0.8821	0.8968	-0.0147	-7.0219	0.0021

Table C.1: Hypothesis testing on data-set `adult`
Columns 1 to 3 show which hypothesis is being tested and the corresponding algorithms
Column 4 shows if the null hypothesis has been rejected
Column 5 shows the cutoff for rejection according to Holm (1979) (global $\alpha = 0.05$)
Column 6 shows the obtained p-value of the bilateral test
Columns 7 to 9 show both sample means and the mean of the paired sample differences (p. 33)
To increase statistical power, tests are done on
Column 10 shows the test statistic which is compared to a student's distribution with 29 df
The last column shows the sample standard deviation of the paired sample performance differences

Hyp.	alg. 1	alg. 2	rej.	cutoff	p-value	$\hat{\mu}_1$	$\hat{\mu}_2$	$\hat{\mu}_d$	t	$\hat{\sigma}_d$
H1	[Transduc]	[Freeze]	0	0.0500	0.8087	0.7568	0.7550	0.0017	0.2443	0.0070
H2	[Freeze]	[Ext]	0	0.0250	0.1785	0.7550	0.7351	0.0200	1.3788	0.0145
H3	[Ext]	[Hybrid]	1	0.0100	0.0008	0.7351	0.6933	0.0418	3.7573	0.0111
H4	[Hybrid]	[Simple]	1	0.0083	0.0000	0.6933	0.7566	-0.0634	-5.7843	0.0110
H5	[Simple]	[Self]	1	0.0125	0.0034	0.7566	0.7150	0.0416	3.1894	0.0130
H6	[Self]	[Induc]	0	0.0167	0.0387	0.7150	0.7393	-0.0243	-2.1657	0.0112

Table C.2: Hypothesis testing on data-set `bank`

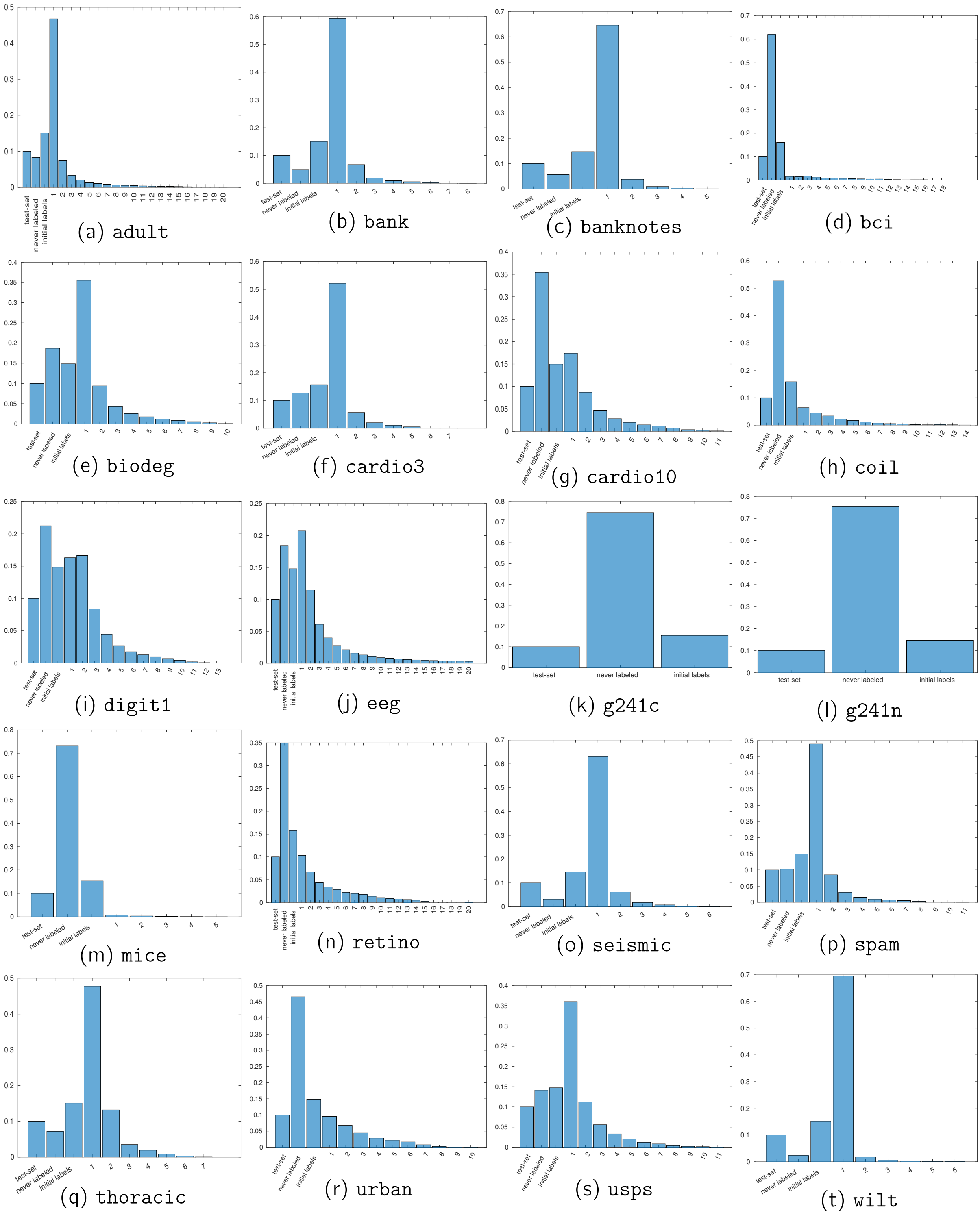

(a) adult (b) bank (c) banknotes (d) bci (e) biodeg (f) cardio3 (g) cardio10 (h) coil (i) digit1 (j) eeg (k) g241c (l) g241n (m) mice (n) retino (o) seismic (p) spam (q) thoracic (r) urban (s) usps (t) wilt

Figure C.1: Proportions of records labeled in a given iteration of [Self]
From left to right we see the proportions of : test-set records (10%), never labeled records, initially labeled records (15%) and then the iterations (maximum $\psi = 20$)
Proportions are merged from all 10 folds and 3 repetitions. Parameter $\theta = 0.85$

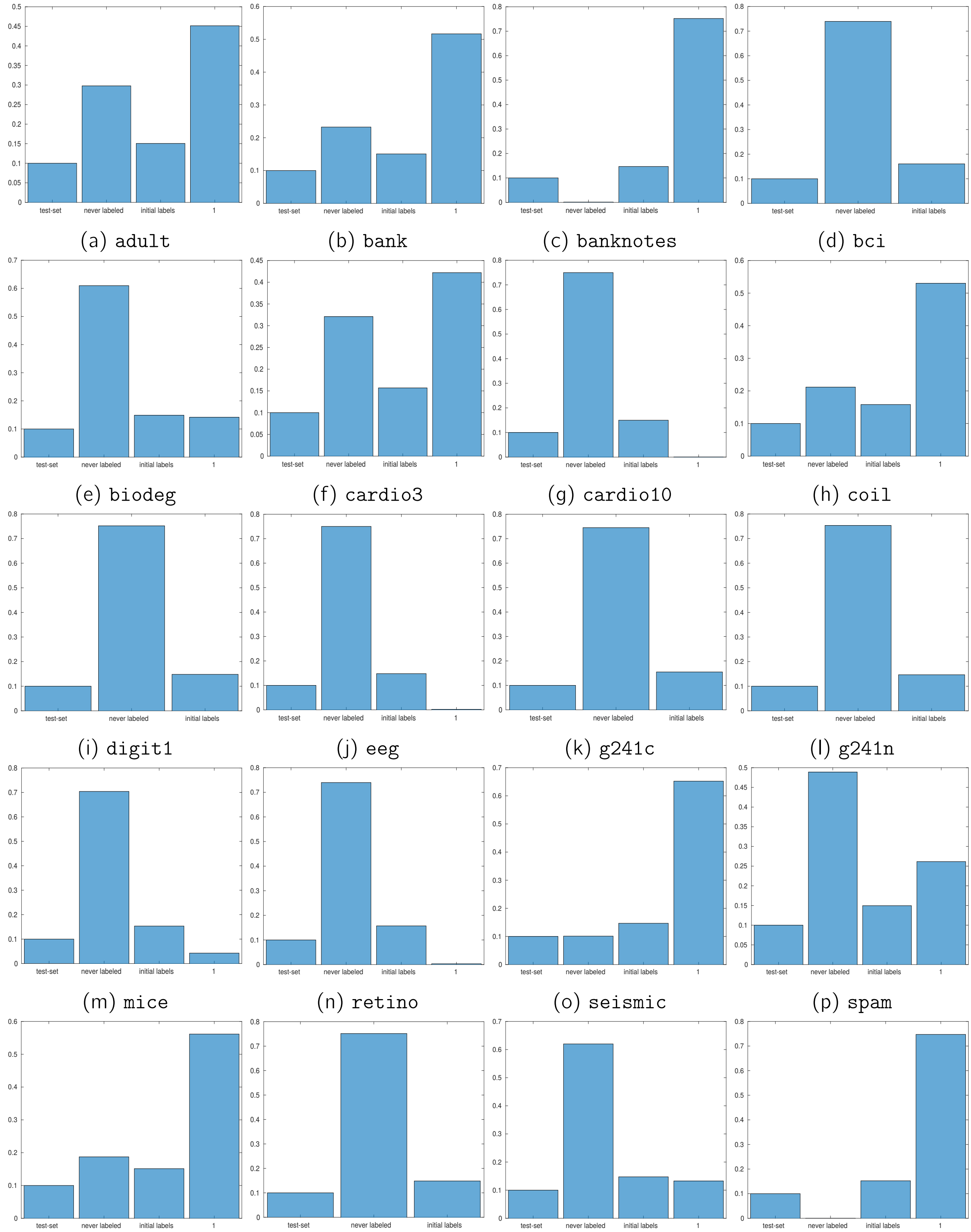

(a) adult (b) bank (c) banknotes (d) bci

(e) biodeg (f) cardio3 (g) cardio10 (h) coil

(i) digit1 (j) eeg (k) g241c (l) g241n

(m) mice (n) retino (o) seismic (p) spam

(q) thoracic (r) urban (s) usps (t) wilt

Figure C.2: Proportions of records labeled by [Simple]
From left to right we see the proportions of : test-set records (10%), never labeled records, initially labeled records (15%) and then the only "iteration"
Proportions are merged from all 10 folds and 3 repetitions. Parameter $\theta = 0.85$

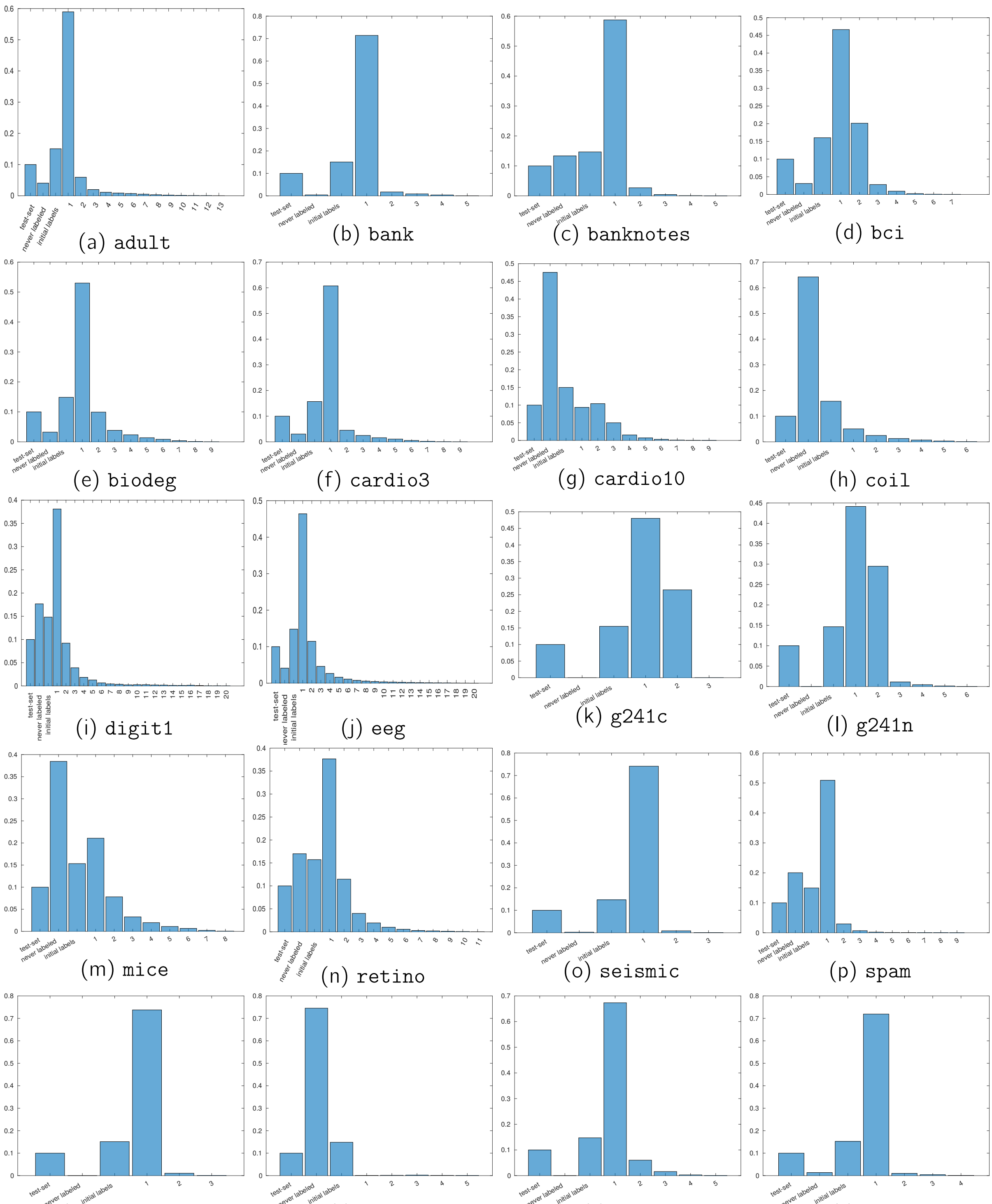

(a) adult (b) bank (c) banknotes (d) bci (e) biodeg (f) cardio3 (g) cardio10 (h) coil (i) digit1 (j) eeg (k) g241c (l) g241n (m) mice (n) retino (o) seismic (p) spam (q) thoracic (r) urban (s) usps (t) wilt

Figure C.3: Proportions of records labeled in a given iteration of [Hybrid]
From left to right we see the proportions of : test-set records (10%), never labeled records, initially labeled records (15%) and then the iterations (maximum $\psi = 20$)
Proportions are merged from all 10 folds and 3 repetitions. Parameter $\theta = 0.5$

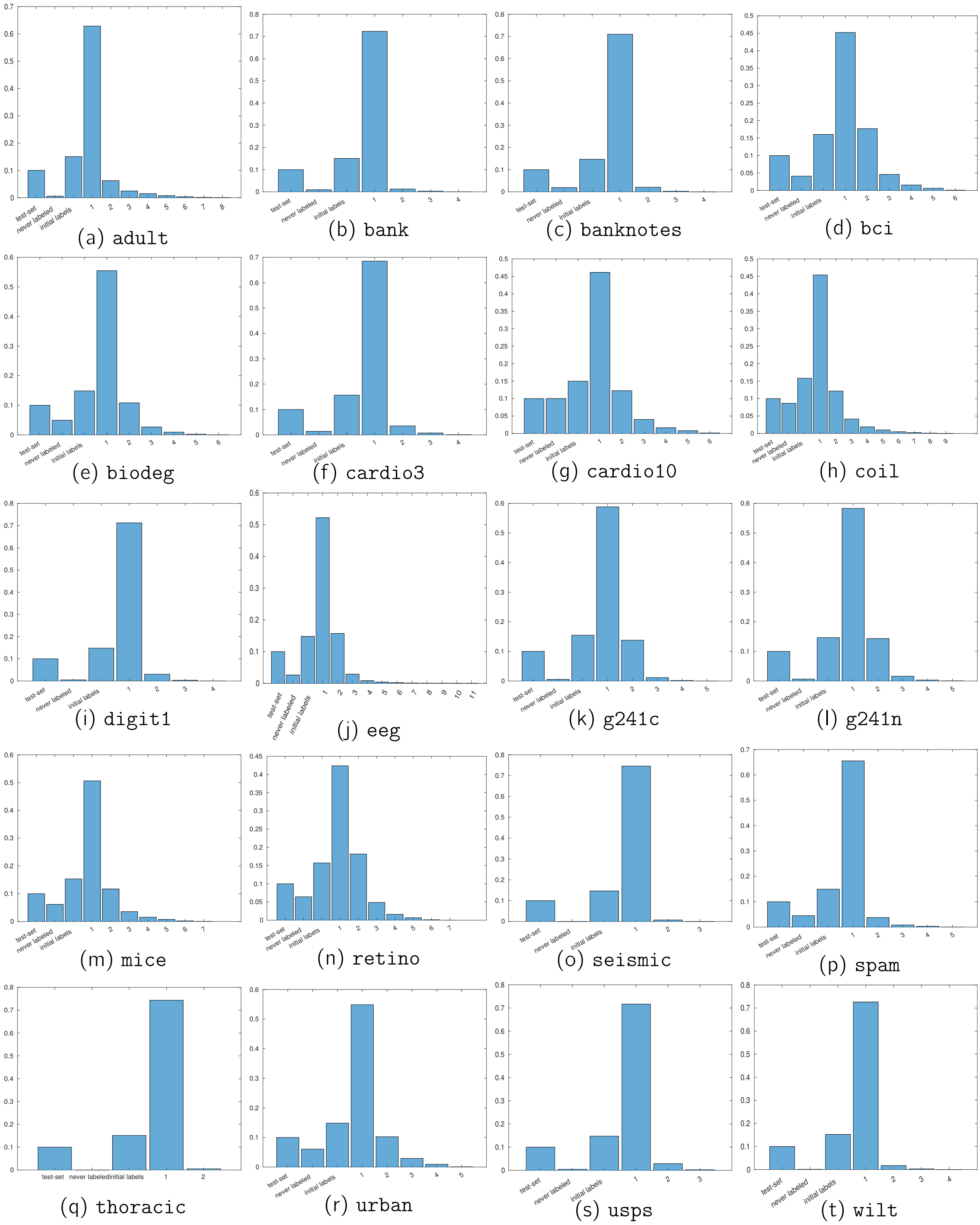

Figure C.4: Proportions of records labeled in a given iteration of [Ext]
From left to right we see the proportions of : test-set records (10%), never labeled records, initially labeled records (15%) and then the iterations (maximum $\psi = 20$)
Proportions are merged from all 10 folds and 3 repetitions

Hyp.	alg. 1	alg. 2	rej.	cutoff	p-value	$\hat{\mu}_1$	$\hat{\mu}_2$	$\hat{\mu}_d$	t	$\hat{\sigma}_d$
H1	[Transduc]	[Freeze]	0	0.0250	0.5130	1.0000	0.9999	0.0001	0.6624	0.0002
H2	[Freeze]	[Ext]	0	0.0500	0.8708	0.9999	0.9999	0.0000	-0.1642	0.0002
H3	[Ext]	[Hybrid]	0	0.0125	0.1332	0.9999	0.9963	0.0036	1.5451	0.0023
H4	[Hybrid]	[Simple]	0	0.0167	0.1859	0.9963	0.9994	-0.0031	-1.3550	0.0023
H5	[Simple]	[Self]	0	0.0083	0.0996	0.9994	0.9923	0.0071	1.7014	0.0042
H6	[Self]	[Induc]	0	0.0100	0.1123	0.9923	0.9976	-0.0052	-1.6377	0.0032

Table C.3: Hypothesis testing on data-set `banknotes`

Hyp.	alg. 1	alg. 2	rej.	cutoff	p-value	$\hat{\mu}_1$	$\hat{\mu}_2$	$\hat{\mu}_d$	t	$\hat{\sigma}_d$
H1	[Transduc]	[Freeze]	0	0.0167	0.8489	0.5166	0.5089	0.0077	0.1923	0.0399
H2	[Freeze]	[Ext]	0	0.0100	0.4369	0.5089	0.5499	-0.0409	-0.7883	0.0519
H3	[Ext]	[Hybrid]	0	0.0250	0.8589	0.5499	0.5426	0.0072	0.1794	0.0404
H4	[Hybrid]	[Simple]	0	0.0083	0.3148	0.5426	0.5831	-0.0405	-1.0229	0.0396
H5	[Simple]	[Self]	0	0.0125	0.7201	0.5831	0.5750	0.0081	0.3618	0.0223
H6	[Self]	[Induc]	0	0.0500	0.9442	0.5750	0.5734	0.0016	0.0706	0.0229

Table C.4: Hypothesis testing on data-set `bci`

Hyp.	alg. 1	alg. 2	rej.	cutoff	p-value	$\hat{\mu}_1$	$\hat{\mu}_2$	$\hat{\mu}_d$	t	$\hat{\sigma}_d$
H1	[Transduc]	[Freeze]	1	0.0500	0.0340	0.8617	0.8478	0.0140	2.2249	0.0063
H2	[Freeze]	[Ext]	0	0.0125	0.0136	0.8478	0.8808	-0.0330	-2.6286	0.0126
H3	[Ext]	[Hybrid]	1	0.0100	0.0005	0.8808	0.8335	0.0473	3.9425	0.0120
H4	[Hybrid]	[Simple]	1	0.0083	0.0000	0.8335	0.8943	-0.0608	-6.0995	0.0100
H5	[Simple]	[Self]	1	0.0250	0.0200	0.8943	0.8717	0.0226	2.4625	0.0092
H6	[Self]	[Induc]	0	0.0167	0.0180	0.8717	0.8937	-0.0220	-2.5088	0.0088

Table C.5: Hypothesis testing on data-set `biodeg`

Hyp.	alg. 1	alg. 2	rej.	cutoff	p-value	$\hat{\mu}_1$	$\hat{\mu}_2$	$\hat{\mu}_d$	t	$\hat{\sigma}_d$
H1	[Transduc]	[Freeze]	0	0.0500	0.8788	0.5857	0.5918	-0.0061	-0.1538	0.0397
H2	[Freeze]	[Ext]	1	0.0125	0.0099	0.5918	0.7034	-0.1117	-2.7611	0.0404
H3	[Ext]	[Hybrid]	1	0.0083	0.0000	0.7034	0.4831	0.2204	8.6064	0.0256
H4	[Hybrid]	[Simple]	1	0.0100	0.0000	0.4831	0.7637	-0.2806	-7.8641	0.0357
H5	[Simple]	[Self]	0	0.0250	0.4428	0.7637	0.7731	-0.0094	-0.7782	0.0121
H6	[Self]	[Induc]	0	0.0167	0.1149	0.7731	0.7947	-0.0215	-1.6252	0.0132

Table C.6: Hypothesis testing on data-set `cardio3`

Hyp.	alg. 1	alg. 2	rej.	cutoff	p-value	$\hat{\mu}_1$	$\hat{\mu}_2$	$\hat{\mu}_d$	t	$\hat{\sigma}_d$
H1	[Transduc]	[Freeze]	1	0.0250	0.0063	0.4354	0.3868	0.0487	2.9472	0.0165
H2	[Freeze]	[Ext]	1	0.0083	0.0000	0.3868	0.4949	-0.1081	-6.6149	0.0163
H3	[Ext]	[Hybrid]	1	0.0100	0.0000	0.4949	0.6127	-0.1178	-5.6975	0.0207
H4	[Hybrid]	[Simple]	1	0.0125	0.0002	0.6127	0.6969	-0.0842	-4.1803	0.0202
H5	[Simple]	[Self]	1	0.0167	0.0046	0.6969	0.6582	0.0387	3.0725	0.0126
H6	[Self]	[Induc]	1	0.0500	0.0181	0.6582	0.6896	-0.0314	-2.5048	0.0125

Table C.7: Hypothesis testing on data-set `cardio10`

Hyp.	alg. 1	alg. 2	rej.	cutoff	p-value	$\hat{\mu}_1$	$\hat{\mu}_2$	$\hat{\mu}_d$	t	$\hat{\sigma}_d$
H1	[Transduc]	[Freeze]	0	0.0500	0.4614	0.9211	0.9157	0.0055	0.7465	0.0073
H2	[Freeze]	[Ext]	1	0.0083	0.0000	0.9157	0.7735	0.1421	7.1974	0.0198
H3	[Ext]	[Hybrid]	1	0.0100	0.0000	0.7735	0.8522	-0.0787	-5.0404	0.0156
H4	[Hybrid]	[Simple]	1	0.0125	0.0113	0.8522	0.8831	-0.0309	-2.7068	0.0114
H5	[Simple]	[Self]	1	0.0167	0.0139	0.8831	0.8567	0.0264	2.6188	0.0101
H6	[Self]	[Induc]	0	0.0250	0.2824	0.8567	0.8663	-0.0096	-1.0953	0.0088

Table C.8: Hypothesis testing on data-set `coil`

Hyp.	alg. 1	alg. 2	rej.	cutoff	p-value	$\hat{\mu}_1$	$\hat{\mu}_2$	$\hat{\mu}_d$	t	$\hat{\sigma}_d$
H1	[Transduc]	[Freeze]	0	0.0250	0.2751	0.9990	0.9984	0.0006	1.1124	0.0006
H2	[Freeze]	[Ext]	0	0.0083	0.0669	0.9984	0.9969	0.0015	1.9042	0.0008
H3	[Ext]	[Hybrid]	0	0.0167	0.2044	0.9969	0.9831	0.0138	1.2982	0.0106
H4	[Hybrid]	[Simple]	0	0.0500	0.5298	0.9831	0.9902	-0.0071	-0.6359	0.0112
H5	[Simple]	[Self]	0	0.0125	0.1239	0.9902	0.9934	-0.0032	-1.5848	0.0020
H6	[Self]	[Induc]	0	0.0100	0.0710	0.9934	0.9897	0.0037	1.8740	0.0020

Table C.9: Hypothesis testing on data-set `digit1`

Hyp.	alg. 1	alg. 2	rej.	cutoff	p-value	$\hat{\mu}_1$	$\hat{\mu}_2$	$\hat{\mu}_d$	t	$\hat{\sigma}_d$
H1	[Transduc]	[Freeze]	1	0.0500	0.0267	0.7828	0.7953	-0.0125	-2.3338	0.0053
H2	[Freeze]	[Ext]	1	0.0250	0.0093	0.7953	0.7779	0.0174	2.7876	0.0063
H3	[Ext]	[Hybrid]	1	0.0100	0.0000	0.7779	0.8881	-0.1102	-22.5172	0.0049
H4	[Hybrid]	[Simple]	1	0.0167	0.0000	0.8881	0.9374	-0.0493	-14.6321	0.0034
H5	[Simple]	[Self]	1	0.0083	0.0000	0.9374	0.8831	0.0543	21.3842	0.0025
H6	[Self]	[Induc]	1	0.0125	0.0000	0.8831	0.9371	-0.0540	-20.5474	0.0026

Table C.10: Hypothesis testing on data-set `eeg`

Hyp.	alg. 1	alg. 2	rej.	cutoff	p-value	$\hat{\mu}_1$	$\hat{\mu}_2$	$\hat{\mu}_d$	t	$\hat{\sigma}_d$
H1	[Transduc]	[Freeze]	0	0.0167	0.0502	0.7639	0.7330	0.0309	2.0437	0.0151
H2	[Freeze]	[Ext]	1	0.0125	0.0000	0.7330	0.8438	-0.1108	-6.8370	0.0162
H3	[Ext]	[Hybrid]	1	0.0083	0.0000	0.8438	0.6068	0.2371	12.1991	0.0194
H4	[Hybrid]	[Simple]	1	0.0100	0.0000	0.6068	0.7933	-0.1865	-8.0426	0.0232
H5	[Simple]	[Self]	0	0.0500	0.8847	0.7933	0.7950	-0.0018	-0.1462	0.0120
H6	[Self]	[Induc]	0	0.0250	0.6718	0.7950	0.8002	-0.0051	-0.4280	0.0120

Table C.11: Hypothesis testing on data-set `g241c`

Hyp.	alg. 1	alg. 2	rej.	cutoff	p-value	$\hat{\mu}_1$	$\hat{\mu}_2$	$\hat{\mu}_d$	t	$\hat{\sigma}_d$
H1	[Transduc]	[Freeze]	1	0.0125	0.0098	0.8137	0.7533	0.0604	2.7635	0.0218
H2	[Freeze]	[Ext]	0	0.0167	0.0879	0.7533	0.7996	-0.0463	-1.7659	0.0262
H3	[Ext]	[Hybrid]	1	0.0100	0.0000	0.7996	0.6064	0.1932	6.0375	0.0320
H4	[Hybrid]	[Simple]	1	0.0083	0.0000	0.6064	0.7686	-0.1623	-6.1162	0.0265
H5	[Simple]	[Self]	0	0.0250	0.7815	0.7686	0.7726	-0.0039	-0.2800	0.0140
H6	[Self]	[Induc]	0	0.0500	0.8259	0.7726	0.7696	0.0029	0.2220	0.0132

Table C.12: Hypothesis testing on data-set `g241n`

Hyp.	alg. 1	alg. 2	rej.	cutoff	p-value	$\hat{\mu}_1$	$\hat{\mu}_2$	$\hat{\mu}_d$	t	$\hat{\sigma}_d$
H1	[Transduc]	[Freeze]	0	0.0250	0.7982	0.7794	0.7735	0.0059	0.2580	0.0228
H2	[Freeze]	[Ext]	0	0.0125	0.5772	0.7735	0.7609	0.0127	0.5638	0.0225
H3	[Ext]	[Hybrid]	0	0.0100	0.4619	0.7609	0.7454	0.0155	0.7456	0.0208
H4	[Hybrid]	[Simple]	0	0.0083	0.0718	0.7454	0.7912	-0.0458	-1.8690	0.0245
H5	[Simple]	[Self]	0	0.0167	0.6760	0.7912	0.7968	-0.0056	-0.4222	0.0134
H6	[Self]	[Induc]	0	0.0500	0.8547	0.7968	0.7944	0.0024	0.1847	0.0132

Table C.13: Hypothesis testing on data-set `mice`

Hyp.	alg. 1	alg. 2	rej.	cutoff	p-value	$\hat{\mu}_1$	$\hat{\mu}_2$	$\hat{\mu}_d$	t	$\hat{\sigma}_d$
H1	[Transduc]	[Freeze]	0	0.0500	0.9709	0.6387	0.6392	-0.0005	-0.0368	0.0146
H2	[Freeze]	[Ext]	0	0.0083	0.0097	0.6392	0.6987	-0.0595	-2.7685	0.0215
H3	[Ext]	[Hybrid]	0	0.0125	0.0512	0.6987	0.6548	0.0439	2.0335	0.0216
H4	[Hybrid]	[Simple]	0	0.0100	0.0248	0.6548	0.6889	-0.0341	-2.3675	0.0144
H5	[Simple]	[Self]	0	0.0250	0.5551	0.6889	0.6831	0.0058	0.5971	0.0097
H6	[Self]	[Induc]	0	0.0167	0.4562	0.6831	0.6908	-0.0077	-0.7553	0.0102

Table C.14: Hypothesis testing on data-set `retino`

Hyp.	alg. 1	alg. 2	rej.	cutoff	p-value	$\hat{\mu}_1$	$\hat{\mu}_2$	$\hat{\mu}_d$	t	$\hat{\sigma}_d$
H1	[Transduc]	[Freeze]	0	0.0167	0.2974	0.7188	0.7005	0.0183	1.0610	0.0172
H2	[Freeze]	[Ext]	0	0.0500	0.7599	0.7005	0.6922	0.0083	0.3086	0.0270
H3	[Ext]	[Hybrid]	0	0.0125	0.1165	0.6922	0.6441	0.0481	1.6178	0.0297
H4	[Hybrid]	[Simple]	0	0.0100	0.1019	0.6441	0.6893	-0.0453	-1.6892	0.0268
H5	[Simple]	[Self]	0	0.0250	0.5097	0.6893	0.6742	0.0151	0.6675	0.0227
H6	[Self]	[Induc]	1	0.0083	0.0038	0.6742	0.7334	-0.0593	-3.1520	0.0188

Table C.15: Hypothesis testing on data-set `seismic`

Hyp.	alg. 1	alg. 2	rej.	cutoff	p-value	$\hat{\mu}_1$	$\hat{\mu}_2$	$\hat{\mu}_d$	t	$\hat{\sigma}_d$
H1	[Transduc]	[Freeze]	0	0.0250	0.3028	0.9414	0.9364	0.0050	1.0490	0.0047
H2	[Freeze]	[Ext]	0	0.0500	0.5735	0.9364	0.9397	-0.0033	-0.5693	0.0058
H3	[Ext]	[Hybrid]	0	0.0167	0.2672	0.9397	0.9445	-0.0048	-1.1312	0.0042
H4	[Hybrid]	[Simple]	0	0.0125	0.0363	0.9445	0.9519	-0.0074	-2.1954	0.0034
H5	[Simple]	[Self]	1	0.0100	0.0000	0.9519	0.9391	0.0128	5.0347	0.0025
H6	[Self]	[Induc]	1	0.0083	0.0000	0.9391	0.9525	-0.0134	-5.5125	0.0024

Table C.16: Hypothesis testing on data-set `spam`

Hyp.	alg. 1	alg. 2	rej.	cutoff	p-value	$\hat{\mu}_1$	$\hat{\mu}_2$	$\hat{\mu}_d$	t	$\hat{\sigma}_d$
H1	[Transduc]	[Freeze]	0	0.0100	0.6814	0.5610	0.5329	0.0281	0.4147	0.0677
H2	[Freeze]	[Ext]	0	0.0500	0.9882	0.5329	0.5320	0.0010	0.0149	0.0658
H3	[Ext]	[Hybrid]	0	0.0083	0.5441	0.5320	0.5614	-0.0295	-0.6139	0.0480
H4	[Hybrid]	[Simple]	0	0.0250	0.8259	0.5614	0.5697	-0.0082	-0.2220	0.0371
H5	[Simple]	[Self]	0	0.0167	0.8046	0.5697	0.5776	-0.0079	-0.2497	0.0318
H6	[Self]	[Induc]	0	0.0125	0.8031	0.5776	0.5709	0.0067	0.2516	0.0268

Table C.17: Hypothesis testing on data-set `thoracic`

Hyp.	alg. 1	alg. 2	rej.	cutoff	p-value	$\hat{\mu}_1$	$\hat{\mu}_2$	$\hat{\mu}_d$	t	$\hat{\sigma}_d$
H1	[Transduc]	[Freeze]	0	0.0250	0.1548	0.4189	0.3482	0.0708	1.4608	0.0484
H2	[Freeze]	[Ext]	1	0.0083	0.0000	0.3482	0.6369	-0.2887	-8.1906	0.0352
H3	[Ext]	[Hybrid]	0	0.0100	0.0177	0.6369	0.7246	-0.0878	-2.5142	0.0349
H4	[Hybrid]	[Simple]	0	0.0500	0.8574	0.7246	0.7205	0.0041	0.1813	0.0226
H5	[Simple]	[Self]	0	0.0167	0.0935	0.7205	0.6784	0.0422	1.7345	0.0243
H6	[Self]	[Induc]	0	0.0125	0.8031	0.5776	0.5709	0.0067	0.2516	0.0268

Table C.18: Hypothesis testing on data-set `urban`

Hyp.	alg. 1	alg. 2	rej.	cutoff	p-value	$\hat{\mu}_1$	$\hat{\mu}_2$	$\hat{\mu}_d$	t	$\hat{\sigma}_d$
H1	[Transduc]	[Freeze]	0	0.0500	0.2528	0.9840	0.9810	0.0030	1.1669	0.0026
H2	[Freeze]	[Ext]	1	0.0250	0.0001	0.9810	0.9413	0.0397	4.3935	0.0090
H3	[Ext]	[Hybrid]	1	0.0083	0.0000	0.9413	0.8253	0.1160	7.4592	0.0155
H4	[Hybrid]	[Simple]	1	0.0100	0.0000	0.8253	0.9227	-0.0974	-6.1857	0.0157
H5	[Simple]	[Self]	1	0.0125	0.0000	0.9227	0.8686	0.0540	5.6264	0.0096
H6	[Self]	[Induc]	1	0.0167	0.0001	0.8686	0.9177	-0.0491	-4.5946	0.0107

Table C.19: Hypothesis testing on data-set `usps`

Hyp.	alg. 1	alg. 2	rej.	cutoff	p-value	$\hat{\mu}_1$	$\hat{\mu}_2$	$\hat{\mu}_d$	t	$\hat{\sigma}_d$
H1	[Transduc]	[Freeze]	0	0.0500	0.3646	0.7923	0.7832	0.0091	0.9210	0.0099
H2	[Freeze]	[Ext]	1	0.0083	0.0000	0.7832	0.9702	-0.1870	-9.5419	0.0196
H3	[Ext]	[Hybrid]	1	0.0100	0.0000	0.9702	0.9136	0.0566	4.8553	0.0117
H4	[Hybrid]	[Simple]	0	0.0167	0.1553	0.9136	0.9275	-0.0139	-1.4590	0.0095
H5	[Simple]	[Self]	0	0.0250	0.1673	0.9275	0.9433	-0.0158	-1.4165	0.0111
H6	[Self]	[Induc]	1	0.0125	0.0032	0.9433	0.9762	-0.0330	-3.2085	0.0103

Table C.20: Hypothesis testing on data-set `wilt`

	[Transduc]	[Freeze]	[Ext]	[Hybrid]	[Simple]	[Self]	[Induc]	$\sum$
	625.930	583.330	19.656	7.696	1.361	11.764	1.180	1250.917
	0.045	617.520	20.571	7.821	1.386	10.832	1.142	659.316
	0.045	538.010	20.577	7.829	1.472	12.038	1.159	581.130
	0.046	585.660	20.251	7.867	1.404	10.749	1.231	627.209
	0.044	640.290	20.284	7.882	1.316	10.773	1.186	681.775
	0.047	533.570	19.857	6.759	1.420	9.340	1.196	572.188
	0.045	564.660	19.854	7.798	1.361	10.741	1.145	605.605
	0.047	650.840	19.794	7.979	1.525	13.463	1.183	694.830
	0.044	600.800	19.902	9.093	1.375	12.091	1.178	644.483
	0.046	615.960	19.820	7.705	1.559	10.625	1.342	657.057
	0.046	607.120	22.471	8.012	1.383	9.568	1.141	649.741
	0.040	539.590	20.631	7.940	1.582	9.401	1.173	580.357
	0.045	786.190	22.885	8.207	1.396	10.865	1.209	830.797
	0.044	590.720	20.816	9.469	1.391	8.079	1.387	631.907
	0.047	584.910	20.090	7.990	1.401	9.605	1.209	625.252
	0.043	797.560	20.560	7.989	1.651	10.802	1.422	840.028
	0.043	660.650	22.658	8.038	1.437	12.195	1.154	706.175
	0.048	619.610	20.529	8.079	1.375	9.555	1.173	660.369
	0.046	656.400	20.421	9.488	1.415	12.229	1.188	701.187
	0.047	745.010	22.112	8.102	1.392	9.652	1.229	787.544
	0.046	679.710	22.635	8.048	1.361	10.879	1.164	723.842
	0.044	630.600	23.467	9.445	1.362	9.422	1.391	675.730
	0.047	641.360	20.913	7.867	1.371	8.327	1.148	681.033
	0.043	688.710	20.158	6.901	1.378	8.285	1.147	726.622
	0.046	610.060	20.927	9.145	1.678	10.557	1.461	653.873
	0.043	642.950	20.851	7.901	1.388	12.432	1.185	686.751
	0.048	650.260	20.476	9.416	1.360	11.010	1.157	693.726
	0.045	648.140	20.764	9.457	1.367	10.915	1.166	691.854
	0.040	752.880	19.968	8.008	1.343	12.380	1.174	795.794
	0.047	669.180	21.617	9.516	1.399	9.816	1.171	712.746
$\sum$	627.236	19132.250	625.515	247.446	42.607	318.391	36.392	21029.837

Table C.21: Data-set "bank" (Moro, Cortez, & Rita, 2014) of medium size: $n = 4119$ and $p = 19$
Computation time in seconds for 10 folds and 3 repetitions on a Xeon X5650
[Transduc] takes much longer the first time it is invoked since afterwards, only the supervised second part of label propagation needs to be redone. [Freeze] takes a long time at every fold since graph construction and AEW need to be redone each time the training set has changed. [Ext], [Hybrid] and [Simple] can reuse the resulting graph, otherwise they would take even longer than [Freeze].

	[Transduc]	[Freeze]	[Ext]	[Hybrid]	[Simple]	[Self]	[Induc]	$\sum$
	1244.600	1093.500	394.200	34.099	1.374	37.679	0.963	2806.415
	0.581	1122.200	411.730	32.133	1.354	37.548	0.908	1606.454
	0.582	1574.700	415.950	32.780	1.320	38.629	0.874	2064.835
	0.577	1171.500	408.790	33.504	1.341	36.377	0.896	1652.985
	0.530	1495.200	415.520	25.542	1.365	36.671	0.893	1975.720
	0.534	1046.600	421.640	27.766	1.308	36.890	0.887	1535.625
	0.509	1463.800	417.920	38.645	1.345	36.794	0.926	1959.939
	0.563	1066.800	414.870	50.563	1.307	36.486	0.900	1571.490
	0.532	1296.000	413.780	48.268	1.350	36.749	0.907	1797.586
	0.530	1035.500	403.720	45.998	1.347	36.926	0.928	1524.950
	0.531	4134.200	405.950	30.612	1.380	37.370	0.960	4611.003
	0.539	1106.700	409.630	43.392	1.322	36.960	0.924	1599.467
	0.525	1319.600	420.480	45.675	1.365	36.939	0.925	1825.509
	0.524	1089.600	448.450	30.993	1.468	37.270	0.916	1609.222
	0.508	1103.700	417.140	31.209	1.343	37.524	0.969	1592.393
	0.535	1271.600	407.060	43.493	1.364	37.232	0.967	1762.251
	0.534	1124.100	403.800	28.531	1.354	37.201	0.921	1596.442
	0.548	1474.200	410.470	48.563	1.337	37.195	0.937	1973.250
	0.537	1051.800	427.290	38.502	1.441	39.303	0.979	1559.852
	0.585	1080.600	407.480	28.745	1.375	37.452	0.991	1557.228
	0.537	1171.500	411.280	37.881	1.346	37.331	0.954	1660.828
	0.551	4253.900	535.950	36.641	1.349	38.015	0.923	4867.329
	0.517	1088.900	401.270	31.035	1.346	38.608	0.955	1562.631
	0.527	4270.000	446.620	41.439	1.448	37.418	0.916	4798.368
	0.563	1171.500	458.270	27.416	1.542	43.025	1.021	1703.338
	0.607	882.250	431.610	41.270	1.353	37.449	1.024	1395.563
	0.512	1469.900	426.910	36.546	1.353	37.858	0.925	1974.005
	0.527	1812.400	456.280	33.749	1.303	37.565	0.936	2342.760
	0.535	1431.900	453.790	35.613	1.393	38.981	0.927	1963.139
	0.534	1495.200	457.000	28.382	1.311	37.423	0.902	2020.752
$\sum$	1260.315	46169.350	12754.850	1088.985	40.906	1128.868	28.055	62471.330

Table C.22: Data-set "eeg" (Lichman, 2013) of large size: $n = 14980$ and $p = 15$
Computation time in seconds for 10 folds and 3 repetitions on a Xeon X5650
At this scale, other algorithms iterated in [Ext] take relevant amounts of time
The time complexity of AEW rises only linearly with n (comparing with table C.21)

	[Transduc]	[Freeze]	[Ext]	[Hybrid]	[Simple]	[Self]	[Induc]	$\sum$
	2226.000	1470.700	20.928	10.693	1.917	19.029	1.949	3751.216
	0.011	1929.200	21.056	10.571	1.959	19.157	1.901	1983.854
	0.010	1478.500	21.149	13.037	1.914	19.224	1.904	1535.737
	0.010	1789.000	21.434	10.802	1.963	16.950	1.912	1842.071
	0.010	1799.900	21.351	10.719	1.973	19.084	1.934	1854.971
	0.010	1801.800	20.843	10.877	2.008	15.345	1.903	1852.786
	0.010	1809.000	21.015	10.901	2.006	17.125	1.856	1861.913
	0.009	1686.900	21.616	10.887	1.957	14.791	1.920	1738.080
	0.010	1821.700	21.359	12.771	2.013	16.758	2.009	1876.620
	0.010	2062.300	21.500	10.875	1.899	14.758	1.988	2113.330
	0.010	1786.100	21.539	10.782	2.010	16.826	1.861	1839.127
	0.010	1785.600	21.039	10.568	1.984	16.820	1.933	1837.955
	0.010	1632.700	21.199	8.564	1.985	21.158	1.984	1687.599
	0.010	1740.100	21.451	10.821	2.006	18.972	1.916	1795.276
	0.010	1661.500	21.038	8.546	1.992	19.102	1.984	1714.172
	0.010	1942.600	21.260	10.727	2.058	16.842	1.844	1995.341
	0.010	2103.900	21.187	10.857	1.980	19.209	1.935	2159.078
	0.010	1894.800	21.138	10.812	1.950	16.628	1.876	1947.214
	0.010	1935.500	21.868	8.494	1.912	21.207	1.917	1990.908
	0.010	1926.900	20.941	10.798	2.039	23.432	1.949	1986.069
	0.010	1903.500	21.128	10.921	1.923	27.973	1.983	1967.438
	0.013	2884.700	20.944	8.632	1.945	16.814	1.910	2934.958
	0.010	1704.700	21.121	10.652	1.939	25.568	1.924	1765.913
	0.009	1738.900	21.025	10.760	1.970	18.953	1.905	1793.522
	0.010	1607.600	21.380	8.550	2.005	25.081	1.965	1666.591
	0.009	2029.700	21.296	11.091	1.982	25.455	1.865	2091.398
	0.010	1849.000	21.434	10.889	1.914	23.230	1.955	1908.432
	0.010	1615.200	21.186	10.847	1.913	21.207	1.944	1672.307
	0.009	1613.500	20.883	10.711	1.913	16.813	1.963	1665.792
	0.009	1906.100	21.082	8.736	1.960	23.110	1.912	1962.910
$\sum$	2226.289	54911.600	636.390	314.892	58.989	586.621	57.800	58792.581

Table C.23: Data-set "usps" (Chapelle, Scholkopf, & Zien, 2006)
high dimensional: $n = 1500$, $p = 241$
Computation time in seconds for 10 folds and 3 repetitions on a Xeon X5650
The time complexity of AEW rises with the square of p
AEW dominates the computation time of any other algorithm

[Transduc]	[Freeze]	[Ext]	[Hybrid]	[Simple]	[Self]	[Induc]	$\sum$
1.785	1.529	8.242	1.713	0.517	2.105	0.500	16.391
0.006	1.871	3.127	1.494	0.501	1.975	0.472	9.445
0.004	1.584	4.247	1.473	0.488	2.435	0.467	10.697
0.006	1.511	3.837	1.495	0.519	1.956	0.524	9.847
0.004	1.562	4.059	1.549	0.519	2.428	0.500	10.619
0.003	1.867	4.298	1.445	0.499	1.934	0.492	10.536
0.003	1.594	3.126	1.486	0.509	1.954	0.488	9.159
0.004	1.335	4.152	1.958	0.499	2.122	0.514	10.584
0.004	1.428	4.172	2.129	0.529	2.216	0.540	11.018
0.019	1.906	3.813	2.076	0.503	2.621	0.507	11.446
0.005	1.252	3.731	1.460	0.500	1.476	0.477	8.902
0.003	1.514	3.535	1.899	0.486	1.414	0.465	9.317
0.003	1.361	3.992	1.887	0.509	1.963	0.462	10.177
0.003	1.507	4.085	1.941	0.495	1.916	0.470	10.418
0.003	1.553	3.779	2.003	0.523	1.474	0.466	9.800
0.003	1.385	4.024	1.438	0.465	1.404	0.476	9.196
0.004	1.475	4.251	1.429	0.486	1.880	0.474	9.999
0.003	1.665	3.596	1.442	0.481	1.443	0.468	9.098
0.003	1.946	2.988	1.485	0.472	1.918	0.477	9.290
0.003	1.354	4.142	1.439	0.480	1.405	0.457	9.279
0.003	1.158	3.670	1.463	0.479	1.927	0.497	9.197
0.003	1.305	3.715	1.916	0.502	2.348	0.472	10.260
0.003	1.504	2.900	1.866	0.461	1.911	0.483	9.126
0.004	1.494	3.119	1.400	0.469	1.869	0.483	8.837
0.003	1.862	3.255	1.920	0.489	1.862	0.443	9.834
0.003	1.214	3.288	1.439	0.475	1.874	0.446	8.740
0.003	1.658	3.273	1.897	0.480	2.367	0.467	10.145
0.003	1.226	3.570	1.431	0.486	1.865	0.476	9.056
0.004	1.552	4.110	1.422	0.462	1.845	0.464	9.857
0.003	1.431	3.560	1.385	0.466	1.898	0.463	9.206
$\sum$ 1.904	45.599	115.653	49.381	14.748	57.803	14.386	299.473

Table C.24: Data-set "fisher iris" (Fisher, 1936) of small size: $n = 150$ and $p = 4$
Computation time in seconds for 10 folds and 3 repetitions on a Xeon X5650
Compared to larger data-sets, the differences in computation time are inversed at this scale
Iterative algorithms take more time than AEW optimization (which dominates at larger scales)

	[Transduc]	[Freeze]	[Ext]	[Hybrid]	[Simple]	[Self]	[Induc]
	0.8088	0.8063	0.7802	0.8057	0.8429	0.8508	0.8514
	0.8136	0.8129	0.7878	0.8117	0.8355	0.8594	0.8525
	0.8076	0.8112	0.7703	0.7929	0.8393	0.8528	0.8528
	0.8036	0.8023	0.7723	0.7968	0.8330	0.8435	0.8514
	0.8120	0.8077	0.7717	0.7990	0.8431	0.8561	0.8530
	0.7930	0.7899	0.7687	0.8067	0.8292	0.8572	0.8448
	0.8110	0.8142	0.7710	0.7961	0.8394	0.8536	0.8555
	0.8144	0.8132	0.7800	0.8132	0.8470	0.8672	0.8593
	0.8214	0.8182	0.7845	0.8118	0.8385	0.8538	0.8544
	0.8223	0.8156	0.7829	0.8112	0.8341	0.8550	0.8507
	0.8171	0.8399	0.7806	0.8090	0.8393	0.8566	0.8554
	0.8098	0.8098	0.7810	0.8185	0.8354	0.8529	0.8517
	0.7974	0.8055	0.7719	0.8017	0.8328	0.8434	0.8434
	0.8088	0.8127	0.7698	0.7952	0.8297	0.8420	0.8446
	0.8058	0.8040	0.7675	0.8071	0.8194	0.8466	0.8442
	0.7989	0.8121	0.7769	0.8192	0.8323	0.8520	0.8431
	0.8020	0.8100	0.7613	0.7903	0.8353	0.8489	0.8507
	0.8187	0.8284	0.7928	0.8187	0.8381	0.8502	0.8526
	0.8063	0.8171	0.7743	0.8165	0.8331	0.8472	0.8555
	0.8204	0.8298	0.7827	0.8191	0.8436	0.8606	0.8568
	0.8079	0.8153	0.7807	0.8166	0.8413	0.8518	0.8524
	0.8225	0.8194	0.7902	0.8125	0.8454	0.8597	0.8529
	0.8044	0.8099	0.7782	0.7989	0.8312	0.8416	0.8373
	0.8113	0.8262	0.7778	0.8101	0.8560	0.8523	0.8653
	0.8046	0.8065	0.7786	0.8078	0.8344	0.8429	0.8448
	0.8229	0.8299	0.7820	0.8116	0.8526	0.8582	0.8538
	0.8158	0.8299	0.7932	0.8195	0.8513	0.8568	0.8697
	0.7983	0.8087	0.7669	0.7940	0.8303	0.8493	0.8469
	0.8007	0.8057	0.7734	0.8076	0.8175	0.8318	0.8368
	0.8085	0.8190	0.7799	0.8134	0.8427	0.8489	0.8508
$\hat{\mu}$	0.8096	0.8144	0.7776	0.8077	0.8374	0.8514	0.8511
$\hat{\sigma}$	0.0081	0.0103	0.0078	0.0088	0.0086	0.0072	0.0071

(a) accuracy

	[Transduc]	[Freeze]	[Ext]	[Hybrid]	[Simple]	[Self]	[Induc]
	0.8466	0.8498	0.8727	0.8585	0.8947	0.8846	0.9020
	0.8430	0.8473	0.8716	0.8721	0.8831	0.8850	0.8975
	0.8324	0.8385	0.8856	0.8750	0.8939	0.8945	0.9044
	0.8199	0.8201	0.8492	0.8445	0.8750	0.8726	0.8886
	0.8324	0.8306	0.8767	0.8549	0.8863	0.8777	0.8979
	0.8354	0.8394	0.8804	0.8757	0.8893	0.8871	0.9048
	0.8392	0.8414	0.8734	0.8619	0.8850	0.8894	0.8988
	0.8260	0.8277	0.8771	0.8774	0.8871	0.8955	0.8990
	0.8384	0.8394	0.8714	0.8683	0.8859	0.8819	0.8938
	0.8432	0.8400	0.8748	0.8723	0.8897	0.8922	0.9015
	0.8389	0.8576	0.8665	0.8699	0.8914	0.8891	0.9009
	0.8361	0.8338	0.8760	0.8713	0.8842	0.8910	0.8974
	0.8125	0.8280	0.8657	0.8553	0.8676	0.8734	0.8831
	0.8318	0.8419	0.8759	0.8714	0.8809	0.8872	0.8978
	0.8258	0.8303	0.8722	0.8550	0.8685	0.8698	0.8877
	0.8141	0.8090	0.8670	0.8627	0.8806	0.8881	0.8980
	0.8281	0.8370	0.8687	0.8721	0.8917	0.8903	0.9038
	0.8428	0.8508	0.8755	0.8691	0.8904	0.8825	0.8983
	0.8312	0.8465	0.8730	0.8667	0.8785	0.8799	0.8928
	0.8388	0.8502	0.8768	0.8701	0.8832	0.8831	0.8985
	0.8275	0.8193	0.8601	0.8572	0.8763	0.8674	0.8870
	0.8298	0.8372	0.8628	0.8544	0.8812	0.8822	0.8901
	0.7994	0.8219	0.8523	0.8534	0.8821	0.8713	0.8901
	0.8404	0.8542	0.8733	0.8723	0.8999	0.8918	0.9052
	0.8209	0.8395	0.8632	0.8482	0.8783	0.8678	0.8928
	0.8405	0.8657	0.8640	0.8644	0.8883	0.8793	0.9006
	0.8204	0.8316	0.8678	0.8639	0.8883	0.8835	0.8982
	0.8230	0.8483	0.8606	0.8582	0.8832	0.8761	0.8957
	0.8280	0.8335	0.8650	0.8650	0.8868	0.8747	0.8969
	0.8272	0.8411	0.8583	0.8608	0.8919	0.8736	0.8998
$\hat{\mu}$	0.8304	0.8384	0.8692	0.8641	0.8848	0.8821	0.8968
$\hat{\sigma}$	0.0106	0.0122	0.0081	0.0086	0.0073	0.0082	0.0056

(b) ROC AUC

Table C.25: Data-set `adult` classification performance on the 10×3 test-set folds

	[Transduc]	[Freeze]	[Ext]	[Hybrid]	[Simple]	[Self]	[Induc]
	0,9276	0,9276	0,9346	0,9299	0,9322	0,9299	0,9299
	0,8947	0,8947	0,9048	0,8947	0,8922	0,9023	0,8947
	0,8939	0,8939	0,8965	0,8939	0,9015	0,9066	0,9091
	0,8958	0,8984	0,9193	0,9037	0,9037	0,9141	0,9063
	0,8850	0,8850	0,8925	0,8850	0,9050	0,9000	0,9025
	0,8965	0,8965	0,9082	0,9035	0,9129	0,9035	0,9129
	0,8819	0,8819	0,8843	0,8795	0,8747	0,8868	0,8819
	0,8766	0,8766	0,8843	0,8766	0,8818	0,8818	0,8869
	0,8716	0,8716	0,8739	0,8716	0,8716	0,8694	0,8694
	0,8747	0,8747	0,9089	0,8747	0,9066	0,9112	0,9066
	0,8703	0,8703	0,8728	0,8753	0,8653	0,8604	0,8628
	0,8927	0,8927	0,9018	0,8950	0,9132	0,9041	0,9110
	0,8892	0,8892	0,8814	0,8866	0,8918	0,8866	0,8814
	0,8798	0,8798	0,8849	0,8798	0,8900	0,8926	0,8875
	0,9069	0,9069	0,9212	0,9117	0,9260	0,9284	0,9284
	0,8820	0,8847	0,9035	0,8874	0,9142	0,9035	0,9115
	0,9024	0,9024	0,9119	0,8929	0,8881	0,8929	0,9000
	0,9080	0,9104	0,9080	0,9128	0,9153	0,9128	0,9128
	0,8928	0,8928	0,8974	0,8951	0,9068	0,8998	0,9044
	0,8747	0,8747	0,8837	0,8725	0,8680	0,8770	0,8770
	0,8707	0,8707	0,8731	0,8707	0,8756	0,8806	0,8781
	0,9024	0,9024	0,9024	0,9024	0,9024	0,9071	0,9048
	0,9008	0,9008	0,9112	0,9008	0,9060	0,9165	0,9008
	0,8961	0,8961	0,9007	0,9007	0,8961	0,8938	0,8868
	0,8710	0,8710	0,8779	0,8710	0,8733	0,8756	0,8641
	0,8886	0,8886	0,9076	0,8886	0,9052	0,9028	0,9005
	0,9075	0,9075	0,9075	0,9075	0,9050	0,9075	0,9050
	0,9029	0,9029	0,9199	0,9029	0,9248	0,9175	0,9151
	0,8973	0,8973	0,9095	0,8973	0,9120	0,9095	0,9095
	0,8688	0,8688	0,8762	0,8688	0,8688	0,8663	0,8812
$\hat{\mu}$	0,8901	0,8904	0,8987	0,8911	0,8977	0,8980	0,8974
$\hat{\sigma}$	0,0143	0,0144	0,0163	0,0151	0,0186	0,0175	0,0174

(a) accuracy

	[Transduc]	[Freeze]	[Ext]	[Hybrid]	[Simple]	[Self]	[Induc]
	0,7525	0,7581	0,7645	0,7190	0,7704	0,7481	0,7495
	0,7237	0,7233	0,7239	0,6537	0,7149	0,6874	0,7046
	0,7848	0,7817	0,7274	0,7099	0,7939	0,7095	0,7605
	0,7462	0,7493	0,7314	0,7128	0,7355	0,7163	0,7273
	0,6990	0,7035	0,6987	0,6830	0,7055	0,7307	0,7044
	0,7699	0,7655	0,7667	0,6963	0,7648	0,7657	0,7609
	0,7048	0,7027	0,7360	0,7177	0,7570	0,7238	0,7182
	0,7325	0,7341	0,7417	0,6816	0,7551	0,7067	0,7502
	0,7526	0,7554	0,7534	0,6766	0,7634	0,7290	0,7364
	0,8657	0,8606	0,8522	0,8298	0,8779	0,8433	0,8516
	0,6937	0,6846	0,6883	0,6386	0,6872	0,6789	0,6926
	0,7238	0,7237	0,7435	0,7382	0,7503	0,7392	0,7468
	0,8129	0,8206	0,6711	0,6163	0,7632	0,6351	0,7346
	0,7580	0,7515	0,7228	0,6527	0,7472	0,6778	0,7494
	0,7675	0,7868	0,7191	0,7077	0,7932	0,7307	0,7668
	0,8044	0,7758	0,7345	0,7083	0,7775	0,7208	0,7478
	0,7046	0,7494	0,6778	0,6605	0,7248	0,6856	0,7014
	0,7969	0,7578	0,7432	0,7148	0,8127	0,7400	0,7705
	0,7400	0,7379	0,7287	0,7509	0,7797	0,6951	0,7503
	0,7977	0,7922	0,7543	0,7314	0,7861	0,7378	0,7349
	0,7788	0,7713	0,7389	0,6684	0,7495	0,7307	0,7756
	0,7582	0,7539	0,7260	0,6839	0,7490	0,7528	0,7418
	0,7150	0,6595	0,7171	0,6389	0,6931	0,6518	0,6815
	0,7227	0,7403	0,6742	0,6316	0,7057	0,6857	0,6745
	0,7566	0,7487	0,7517	0,6792	0,7528	0,6761	0,7063
	0,7811	0,7796	0,7758	0,7685	0,7998	0,7633	0,7895
	0,7932	0,7879	0,7864	0,6802	0,7751	0,7521	0,7779
	0,7982	0,7895	0,7572	0,7226	0,7805	0,6615	0,7544
	0,7761	0,7774	0,7613	0,7233	0,7452	0,7154	0,7548
	0,6919	0,7287	0,6841	0,6014	0,6882	0,6597	0,6645
$\hat{\mu}$	0,7568	0,7550	0,7351	0,6933	0,7566	0,7150	0,7393
$\hat{\sigma}$	0,0412	0,0398	0,0374	0,0476	0,0406	0,0421	0,0383

(b) ROC AUC

Table C.26: Data-set `bank` classification performance on the 10×3 test-set folds

	[Transduc]	[Freeze]	[Ext]	[Hybrid]	[Simple]	[Self]	[Induc]
	1,0000	1,0000	0,9925	0,9925	0,9925	0,9699	0,9850
	1,0000	1,0000	0,9935	0,9870	1,0000	0,9805	0,9870
	1,0000	1,0000	0,9917	0,9917	1,0000	0,9587	0,9669
	1,0000	1,0000	1,0000	0,9466	1,0000	0,9466	0,9389
	1,0000	1,0000	1,0000	0,9852	0,9926	0,9778	0,9852
	1,0000	1,0000	0,9779	0,9779	1,0000	0,9559	0,9779
	0,9784	0,9784	0,9856	0,9425	0,9640	0,9137	0,9209
	1,0000	1,0000	0,9937	0,9874	1,0000	0,9623	0,9811
	1,0000	1,0000	0,9847	0,9771	1,0000	0,9618	0,9618
	1,0000	1,0000	1,0000	0,9699	1,0000	0,9774	0,9699
	1,0000	1,0000	0,9932	0,9592	0,9932	0,9388	0,9660
	1,0000	1,0000	1,0000	0,9852	1,0000	0,9778	0,9704
	1,0000	1,0000	1,0000	0,9552	0,9851	0,9478	0,9552
	1,0000	1,0000	0,9833	0,9750	1,0000	0,9667	0,9667
	1,0000	0,9927	0,9927	0,9854	0,9927	0,9781	0,9854
	1,0000	0,9926	0,9926	0,9630	0,9852	0,9704	0,9630
	1,0000	1,0000	1,0000	0,9795	1,0000	0,9795	0,9726
	1,0000	1,0000	0,9927	0,9779	0,9927	0,9853	0,9927
	1,0000	1,0000	0,9926	0,9778	0,9852	0,9556	0,9630
	1,0000	1,0000	1,0000	0,9660	0,9932	0,9592	0,9592
	1,0000	1,0000	0,9929	0,9857	0,9857	0,9786	0,9857
	1,0000	1,0000	1,0000	1,0000	1,0000	1,0000	0,9921
	1,0000	1,0000	1,0000	0,9425	0,9928	0,9209	0,9425
	1,0000	1,0000	1,0000	0,9932	0,9932	0,9864	0,9932
	1,0000	1,0000	0,9865	0,9730	0,9932	0,9460	0,9730
	1,0000	1,0000	0,9921	0,9921	1,0000	0,9841	1,0000
	0,9925	1,0000	0,9925	0,9776	1,0000	0,9702	0,9925
	1,0000	1,0000	1,0000	0,9769	0,9846	0,9615	0,9846
	1,0000	1,0000	1,0000	0,9689	0,9876	0,9565	0,9752
	1,0000	0,9917	1,0000	0,9835	0,9917	0,9752	0,9835
$\hat{\mu}$	0,9990	0,9985	0,9944	0,9758	0,9935	0,9648	0,9730
$\hat{\sigma}$	0,0041	0,0045	0,0061	0,0150	0,0079	0,0191	0,0178

(a) accuracy

	[Transduc]	[Freeze]	[Ext]	[Hybrid]	[Simple]	[Self]	[Induc]
	1,0000	1,0000	1,0000	1,0000	1,0000	0,9968	0,9977
	1,0000	1,0000	1,0000	0,9998	1,0000	0,9985	0,9998
	1,0000	1,0000	1,0000	0,9994	1,0000	0,9982	0,9985
	1,0000	1,0000	1,0000	0,9835	1,0000	0,9706	0,9912
	1,0000	1,0000	1,0000	0,9996	1,0000	0,9985	0,9993
	1,0000	1,0000	0,9994	0,9987	1,0000	0,9965	0,9987
	1,0000	0,9994	0,9990	0,9910	0,9870	0,9828	0,9932
	1,0000	1,0000	1,0000	0,9998	1,0000	0,9976	0,9995
	1,0000	1,0000	0,9998	0,9990	1,0000	0,9970	0,9985
	1,0000	1,0000	1,0000	0,9986	1,0000	0,9986	0,9993
	1,0000	1,0000	1,0000	0,9977	0,9996	0,9955	0,9991
	1,0000	1,0000	1,0000	0,9980	1,0000	0,9991	0,9993
	1,0000	1,0000	1,0000	0,9747	0,9991	0,9588	0,9967
	1,0000	1,0000	0,9997	0,9992	1,0000	0,9961	0,9983
	1,0000	1,0000	1,0000	0,9971	1,0000	0,9987	0,9996
	1,0000	0,9979	1,0000	0,9961	0,9998	0,9991	0,9986
	1,0000	1,0000	1,0000	0,9974	1,0000	0,9984	0,9994
	1,0000	1,0000	1,0000	0,9991	1,0000	0,9985	0,9987
	1,0000	1,0000	1,0000	0,9982	0,9998	0,9968	0,9980
	1,0000	1,0000	1,0000	0,9993	0,9998	0,9979	0,9976
	1,0000	1,0000	1,0000	0,9992	0,9996	0,9898	0,9976
	1,0000	1,0000	1,0000	1,0000	1,0000	1,0000	1,0000
	1,0000	1,0000	1,0000	0,9810	0,9994	0,9579	0,9795
	1,0000	1,0000	1,0000	0,9922	0,9998	0,9907	0,9988
	1,0000	1,0000	1,0000	0,9985	0,9998	0,9848	0,9962
	1,0000	1,0000	1,0000	0,9997	1,0000	0,9995	1,0000
	1,0000	1,0000	1,0000	0,9993	1,0000	0,9978	0,9998
	1,0000	1,0000	1,0000	0,9991	1,0000	0,9964	0,9998
	1,0000	1,0000	1,0000	0,9958	1,0000	0,9833	0,9941
	1,0000	0,9997	1,0000	0,9992	0,9997	0,9955	1,0000
$\hat{\mu}$	1,0000	0,9999	0,9999	0,9963	0,9994	0,9923	0,9976
$\hat{\sigma}$	0,0000	0,0004	0,0002	0,0061	0,0024	0,0113	0,0040

(b) ROC AUC

Table C.27: Data-set banknotes classification performance on the 10×3 test-set folds

	[Transduc]	[Freeze]	[Ext]	[Hybrid]	[Simple]	[Self]	[Induc]
	0,5676	0,5676	0,5135	0,5946	0,6216	0,6487	0,7027
	0,5667	0,5667	0,6667	0,5667	0,6333	0,5333	0,6000
	0,4146	0,4146	0,4634	0,4146	0,4634	0,4634	0,5122
	0,5714	0,5714	0,4048	0,5238	0,4048	0,5238	0,4524
	0,4688	0,4688	0,6563	0,4688	0,5000	0,5313	0,5625
	0,5455	0,5455	0,4773	0,5455	0,5227	0,5227	0,4546
	0,5333	0,5333	0,4444	0,5333	0,4889	0,6444	0,4667
	0,4808	0,4808	0,5000	0,4808	0,5962	0,5000	0,5962
	0,3611	0,3611	0,6111	0,3611	0,6389	0,5833	0,5000
	0,4634	0,4634	0,4146	0,4634	0,4390	0,4634	0,4390
	0,6970	0,3030	0,7576	0,6970	0,6061	0,6970	0,6667
	0,4828	0,5172	0,5172	0,4828	0,5172	0,4828	0,4483
	0,4091	0,5909	0,4546	0,3864	0,4546	0,5227	0,4091
	0,3778	0,6000	0,4222	0,3778	0,5111	0,5333	0,5111
	0,4444	0,5778	0,4667	0,4000	0,4222	0,5111	0,4222
	0,5250	0,5000	0,4250	0,4750	0,5250	0,5500	0,5750
	0,4722	0,5278	0,3889	0,4444	0,4444	0,4167	0,4722
	0,5333	0,4000	0,5111	0,6222	0,5333	0,5556	0,5333
	0,5128	0,4615	0,5128	0,5385	0,4359	0,5385	0,4872
	0,5227	0,4773	0,5909	0,5227	0,6364	0,6591	0,6364
	0,6765	0,6765	0,5882	0,6177	0,6177	0,5882	0,6471
	0,4722	0,4722	0,5278	0,4722	0,6389	0,6667	0,5833
	0,4419	0,4186	0,4651	0,4419	0,4884	0,4651	0,4884
	0,5306	0,5102	0,6327	0,5918	0,7959	0,7347	0,6735
	0,4000	0,4000	0,4250	0,4000	0,4750	0,4000	0,4500
	0,5854	0,4634	0,5366	0,5122	0,5366	0,5610	0,5610
	0,4000	0,4000	0,3667	0,4000	0,4667	0,3333	0,4000
	0,5952	0,5476	0,6191	0,5952	0,5714	0,6667	0,5476
	0,5510	0,5510	0,5918	0,5102	0,5714	0,6122	0,6327
	0,6111	0,5556	0,5833	0,5833	0,5833	0,6389	0,6667
$\hat{\mu}$	0,5071	0,4975	0,5178	0,5008	0,5380	0,5516	0,5366
$\hat{\sigma}$	0,0833	0,0810	0,0948	0,0844	0,0873	0,0927	0,0885

(a) accuracy

	[Transduc]	[Freeze]	[Ext]	[Hybrid]	[Simple]	[Self]	[Induc]
	0,5089	0,5119	0,4851	0,5506	0,6235	0,6101	0,6101
	0,6335	0,6606	0,6697	0,5656	0,6833	0,4910	0,6222
	0,4485	0,4387	0,5159	0,6605	0,5147	0,5343	0,5196
	0,4118	0,4353	0,4235	0,5000	0,4847	0,4894	0,5035
	0,4392	0,4628	0,5765	0,6000	0,6000	0,5353	0,5922
	0,4292	0,4292	0,4750	0,4396	0,5000	0,4417	0,4729
	0,5397	0,5258	0,4782	0,6250	0,5933	0,6984	0,5546
	0,6237	0,6296	0,5837	0,6244	0,6215	0,5489	0,6311
	0,6020	0,6221	0,6722	0,5201	0,6756	0,6087	0,6087
	0,3158	0,3397	0,4450	0,4019	0,4402	0,4677	0,4163
	0,6478	0,3957	0,8261	0,7478	0,7109	0,8217	0,7478
	0,5667	0,4905	0,5000	0,7333	0,5143	0,5548	0,4714
	0,4359	0,4145	0,5192	0,4081	0,4722	0,5107	0,4466
	0,4601	0,4244	0,5525	0,5200	0,6418	0,6198	0,6261
	0,4231	0,6518	0,4049	0,5658	0,4767	0,4808	0,5010
	0,4837	0,6191	0,4887	0,4561	0,6065	0,5627	0,5564
	0,4396	0,4799	0,4985	0,3762	0,5433	0,4969	0,4938
	0,5391	0,5803	0,6070	0,5875	0,5977	0,6111	0,6049
	0,5370	0,5741	0,5132	0,5794	0,4550	0,5185	0,4974
	0,5776	0,4596	0,5611	0,6149	0,6687	0,7174	0,6936
	0,4466	0,5296	0,3459	0,3656	0,4565	0,3854	0,5474
	0,5511	0,4396	0,5356	0,5805	0,6920	0,7229	0,7430
	0,5417	0,4649	0,6075	0,5318	0,5932	0,5537	0,5351
	0,5550	0,4967	0,6850	0,5692	0,7875	0,7817	0,7342
	0,5156	0,5078	0,4974	0,4362	0,5234	0,5104	0,5703
	0,6029	0,3493	0,6974	0,6256	0,6950	0,6962	0,6830
	0,4352	0,6759	0,5486	0,6782	0,5602	0,5463	0,4977
	0,6064	0,5423	0,5870	0,3764	0,5618	0,5538	0,5629
	0,5619	0,5100	0,5953	0,4490	0,5552	0,5318	0,5251
	0,6188	0,6063	0,6000	0,5891	0,6438	0,6484	0,6328
$\hat{\mu}$	0,5166	0,5089	0,5499	0,5426	0,5831	0,5750	0,5734
$\hat{\sigma}$	0,0821	0,0917	0,0983	0,1041	0,0889	0,1019	0,0880

(b) ROC AUC

Table C.28: Data-set `bci` classification performance on the 10×3 test-set folds

	[Transduc]	[Freeze]	[Ext]	[Hybrid]	[Simple]	[Self]	[Induc]
	0,8182	0,7980	0,7980	0,6768	0,7879	0,7778	0,8182
	0,8367	0,8367	0,8061	0,6837	0,8367	0,8469	0,8265
	0,7843	0,7745	0,8333	0,7843	0,7941	0,8333	0,8431
	0,7920	0,7920	0,8000	0,6800	0,7920	0,7920	0,8240
	0,7304	0,7304	0,8087	0,6174	0,7913	0,7565	0,7913
	0,7273	0,7677	0,8081	0,6768	0,8081	0,8081	0,8384
	0,8020	0,7624	0,8416	0,7030	0,8812	0,8317	0,8911
	0,8350	0,8641	0,8447	0,7670	0,8738	0,8738	0,8641
	0,7835	0,7938	0,7320	0,6701	0,7629	0,8041	0,7732
	0,7414	0,7931	0,8535	0,5345	0,7931	0,7672	0,7845
	0,7843	0,7451	0,7549	0,7549	0,7843	0,7745	0,8039
	0,8144	0,7526	0,7938	0,6083	0,8557	0,8247	0,8454
	0,7551	0,7755	0,7857	0,6633	0,7959	0,7755	0,7755
	0,7672	0,7586	0,7931	0,7241	0,7672	0,8190	0,8017
	0,8416	0,8713	0,7723	0,8119	0,8119	0,7723	0,8020
	0,8235	0,8039	0,8922	0,6961	0,8628	0,8824	0,9020
	0,8333	0,8056	0,8519	0,6944	0,8796	0,8704	0,8796
	0,8017	0,8017	0,8347	0,6694	0,8595	0,8678	0,8430
	0,8235	0,8151	0,8487	0,7395	0,8235	0,8403	0,7983
	0,7473	0,7033	0,8352	0,6484	0,8132	0,7692	0,8022
	0,8165	0,7890	0,8349	0,7339	0,8165	0,8349	0,8165
	0,7451	0,7451	0,7843	0,7255	0,8137	0,7843	0,8333
	0,8455	0,8000	0,8455	0,6636	0,8818	0,8636	0,8546
	0,7549	0,7941	0,7549	0,5686	0,7647	0,7647	0,7745
	0,8493	0,7808	0,8219	0,7397	0,8630	0,8493	0,8493
	0,7429	0,7619	0,7905	0,6476	0,8286	0,8095	0,8000
	0,8559	0,8475	0,8305	0,7712	0,8729	0,8305	0,8729
	0,7706	0,7798	0,8165	0,7156	0,8349	0,8073	0,8257
	0,8283	0,8283	0,7677	0,6869	0,8283	0,7778	0,8081
	0,7813	0,7578	0,7891	0,7109	0,8281	0,8125	0,8281
$\hat{\mu}$	0,7944	0,7877	0,8108	0,6922	0,8236	0,8141	0,8257
$\hat{\sigma}$	0,0392	0,0378	0,0355	0,0610	0,0367	0,0372	0,0343

(a) accuracy

	[Transduc]	[Freeze]	[Ext]	[Hybrid]	[Simple]	[Self]	[Induc]
	0,8787	0,8656	0,8634	0,8674	0,8860	0,8704	0,8982
	0,8956	0,8932	0,8877	0,8378	0,9121	0,8650	0,9138
	0,8229	0,8148	0,8978	0,8092	0,8947	0,8373	0,8968
	0,8103	0,8156	0,8924	0,8232	0,8856	0,8775	0,9041
	0,8321	0,8311	0,8527	0,7779	0,8557	0,8151	0,8446
	0,7957	0,7799	0,8484	0,8393	0,8640	0,8337	0,8680
	0,8381	0,8368	0,9234	0,8818	0,9217	0,9091	0,9463
	0,9072	0,9019	0,9040	0,8660	0,9378	0,9096	0,9404
	0,8646	0,8570	0,8513	0,7952	0,8762	0,8293	0,8831
	0,8826	0,8820	0,9176	0,8617	0,9020	0,8950	0,8902
	0,7889	0,7478	0,8096	0,7270	0,8073	0,7761	0,7832
	0,8818	0,8555	0,8831	0,8629	0,9228	0,9115	0,9130
	0,8549	0,8363	0,8726	0,7801	0,8943	0,8630	0,8869
	0,8547	0,8145	0,8519	0,7892	0,8141	0,8198	0,8183
	0,9138	0,8884	0,8506	0,8573	0,9023	0,8353	0,8822
	0,9158	0,8909	0,9227	0,8879	0,9369	0,9501	0,9343
	0,8931	0,8525	0,8772	0,8313	0,9169	0,9084	0,9213
	0,8769	0,8660	0,9177	0,8207	0,9140	0,9180	0,9069
	0,9016	0,8908	0,9315	0,8671	0,9129	0,9136	0,8991
	0,8816	0,8347	0,9036	0,8691	0,9222	0,8513	0,8977
	0,8162	0,8182	0,8812	0,8421	0,8511	0,8742	0,8806
	0,8339	0,8286	0,8429	0,8259	0,8953	0,8656	0,8873
	0,9071	0,8689	0,9378	0,8760	0,9458	0,8891	0,9485
	0,8824	0,8793	0,8738	0,8011	0,8797	0,8845	0,8801
	0,8865	0,8655	0,9179	0,9477	0,9581	0,9493	0,9601
	0,8023	0,8166	0,8271	0,7830	0,8405	0,8407	0,8477
	0,8799	0,8788	0,8647	0,8550	0,9158	0,8788	0,9032
	0,8224	0,8290	0,8803	0,8108	0,8888	0,8502	0,8890
	0,8906	0,8884	0,8762	0,8346	0,8991	0,8862	0,8862
	0,8395	0,8041	0,8632	0,7754	0,8754	0,8427	0,9000
$\hat{\mu}$	0,8617	0,8478	0,8808	0,8335	0,8943	0,8717	0,8937
$\hat{\sigma}$	0,0377	0,0370	0,0321	0,0442	0,0358	0,0402	0,0371

bottomrule

(b) ROC AUC

Table C.29: Data-set `biodeg` classification performance on the 10×3 test-set folds

	[Transduc]	[Freeze]	[Ext]	[Hybrid]	[Simple]	[Self]	[Induc]
	0,8684	0,8509	0,8509	0,8026	0,9123	0,9123	0,9167
	0,8744	0,8691	0,9058	0,8115	0,8901	0,8901	0,9005
	0,8493	0,8356	0,8585	0,8037	0,8813	0,8767	0,8722
	0,8558	0,8372	0,8744	0,8093	0,8977	0,8930	0,9070
	0,8356	0,8311	0,8539	0,8082	0,8767	0,8676	0,8858
	0,8317	0,8317	0,8663	0,7970	0,8812	0,8713	0,8762
	0,8473	0,8473	0,8867	0,7980	0,9163	0,9163	0,9212
	0,8414	0,8365	0,8846	0,8414	0,8798	0,8750	0,9087
	0,8267	0,8267	0,8622	0,7822	0,8711	0,8756	0,8933
	0,8333	0,8333	0,8519	0,8056	0,8982	0,8935	0,8935
	0,7902	0,8342	0,8390	0,7610	0,8976	0,9024	0,8829
	0,7851	0,8178	0,8037	0,7617	0,8318	0,8738	0,8598
	0,7990	0,8141	0,8643	0,7688	0,8794	0,8945	0,8794
	0,8246	0,8626	0,8768	0,8152	0,8863	0,8815	0,9052
	0,8311	0,8578	0,8489	0,7956	0,9200	0,9378	0,9333
	0,8295	0,8433	0,8756	0,8203	0,9032	0,9171	0,9032
	0,8421	0,8660	0,8852	0,8278	0,9091	0,9091	0,9139
	0,8177	0,8522	0,8227	0,7783	0,8522	0,8670	0,8670
	0,8357	0,8075	0,8685	0,8028	0,8639	0,8639	0,8592
	0,8565	0,8565	0,8957	0,8435	0,9261	0,9304	0,9478
	0,8534	0,8586	0,8744	0,8482	0,8848	0,9110	0,9162
	0,8350	0,8400	0,8800	0,8300	0,8950	0,8950	0,9000
	0,8091	0,8342	0,8593	0,7889	0,8543	0,8593	0,8995
	0,8414	0,8606	0,8654	0,8414	0,8750	0,8846	0,8894
	0,8531	0,7725	0,8910	0,8341	0,9147	0,8957	0,9242
	0,8386	0,8341	0,8924	0,8386	0,8744	0,8924	0,8969
	0,8326	0,7886	0,8590	0,8282	0,8678	0,8723	0,8987
	0,8839	0,8795	0,9196	0,8929	0,9152	0,9196	0,9330
	0,8387	0,8479	0,8618	0,8203	0,8848	0,8802	0,8986
	0,7920	0,8009	0,8186	0,7788	0,8584	0,8540	0,8761
$\hat{\mu}$	0,8351	0,8376	0,8666	0,8112	0,8866	0,8904	0,8986
$\hat{\sigma}$	0,0235	0,0240	0,0250	0,0290	0,0225	0,0215	0,0218

(a) accuracy

	[Transduc]	[Freeze]	[Ext]	[Hybrid]	[Simple]	[Self]	[Induc]
	0,7320	0,6730	0,7123	0,5078	0,8642	0,8413	0,8683
	0,7332	0,7182	0,8306	0,4738	0,8000	0,8134	0,8330
	0,6254	0,5752	0,6952	0,4454	0,7439	0,7432	0,7387
	0,5880	0,5406	0,6494	0,4212	0,7444	0,7376	0,7595
	0,5891	0,5738	0,7246	0,4782	0,7788	0,7673	0,8015
	0,5904	0,5904	0,7028	0,4343	0,7543	0,7349	0,7521
	0,6571	0,6571	0,7935	0,4706	0,8263	0,8382	0,8287
	0,5617	0,5345	0,7224	0,5402	0,7242	0,6961	0,7941
	0,5817	0,5829	0,7066	0,3457	0,7270	0,7186	0,7619
	0,5879	0,5879	0,6339	0,4854	0,7803	0,7718	0,7879
	0,4817	0,6245	0,6605	0,3815	0,8034	0,8060	0,7693
	0,4777	0,6432	0,6254	0,3393	0,6762	0,7765	0,7569
	0,5427	0,5688	0,7256	0,4184	0,7667	0,8060	0,7598
	0,5012	0,6669	0,6818	0,4611	0,7710	0,7276	0,7945
	0,5952	0,6657	0,6372	0,4192	0,8445	0,8855	0,8784
	0,4886	0,5841	0,6552	0,4563	0,7530	0,7991	0,7530
	0,4913	0,5891	0,6988	0,4191	0,8044	0,8044	0,8176
	0,5519	0,6945	0,5648	0,3124	0,7447	0,7721	0,7815
	0,6106	0,4508	0,7243	0,5177	0,7234	0,7302	0,7301
	0,5673	0,5656	0,6893	0,5027	0,8280	0,8387	0,8825
	0,6465	0,6558	0,7179	0,6159	0,7435	0,8051	0,8326
	0,5414	0,5587	0,7366	0,5024	0,7484	0,7810	0,7913
	0,6149	0,6702	0,7386	0,5393	0,7384	0,7504	0,8259
	0,5590	0,6284	0,6991	0,5390	0,7129	0,7384	0,7445
	0,6776	0,3318	0,7833	0,6160	0,8332	0,7773	0,8529
	0,5740	0,5709	0,7510	0,5571	0,7204	0,7576	0,7894
	0,5888	0,4047	0,6934	0,5652	0,7148	0,7322	0,7833
	0,6395	0,6335	0,8078	0,6679	0,7619	0,7881	0,8251
	0,6375	0,6573	0,7067	0,5874	0,7493	0,7304	0,7845
	0,5367	0,5557	0,6351	0,4723	0,7298	0,7250	0,7609
$\hat{\mu}$	0,5857	0,5918	0,7034	0,4831	0,7637	0,7731	0,7947
$\hat{\sigma}$	0,0660	0,0837	0,0573	0,0841	0,0446	0,0443	0,0418

(b) F-measure

Table C.30: Data-set `cardio3` classification performance on the 10×3 test-set folds

	[Transduc]	[Freeze]	[Ext]	[Hybrid]	[Simple]	[Self]	[Induc]
	0,5682	0,5591	0,6318	0,7773	0,8091	0,7955	0,7909
	0,5658	0,5614	0,5921	0,6886	0,8070	0,7895	0,7983
	0,5423	0,5373	0,5672	0,7313	0,7861	0,7761	0,7811
	0,6209	0,6161	0,6683	0,8010	0,8483	0,8341	0,8294
	0,5556	0,5509	0,6713	0,7222	0,7870	0,7870	0,7963
	0,6429	0,6286	0,6476	0,7619	0,7762	0,7571	0,7762
	0,5729	0,5677	0,6302	0,7865	0,8021	0,7656	0,7813
	0,6047	0,6047	0,6186	0,7814	0,7674	0,7721	0,7721
	0,6018	0,5973	0,6154	0,7014	0,7783	0,7873	0,7783
	0,5943	0,5802	0,6745	0,7689	0,7877	0,7689	0,7877
	0,6340	0,6134	0,6495	0,7629	0,8247	0,7784	0,8093
	0,6329	0,5845	0,6280	0,7826	0,8164	0,8068	0,8406
	0,6701	0,5928	0,6598	0,7990	0,8402	0,8144	0,8402
	0,6495	0,6449	0,6449	0,8178	0,8505	0,8505	0,8458
	0,6177	0,5931	0,6373	0,7843	0,8137	0,8137	0,8333
	0,5935	0,6028	0,5935	0,7757	0,8178	0,7757	0,8271
	0,6061	0,5801	0,6104	0,7359	0,7879	0,7489	0,7662
	0,5434	0,5388	0,5525	0,7306	0,7763	0,7626	0,7626
	0,5893	0,5848	0,6473	0,7768	0,8393	0,8393	0,8348
	0,5778	0,5467	0,6044	0,6889	0,8178	0,7867	0,8178
	0,5126	0,5628	0,6432	0,7337	0,7186	0,7085	0,7387
	0,6087	0,5701	0,6087	0,7391	0,7295	0,7391	0,7343
	0,6009	0,5921	0,6930	0,7675	0,7895	0,7807	0,7851
	0,5615	0,5989	0,7433	0,8075	0,8503	0,7968	0,8342
	0,5928	0,5928	0,6335	0,8190	0,8145	0,8190	0,8190
	0,5756	0,5610	0,6244	0,8244	0,8098	0,8000	0,8098
	0,6195	0,5398	0,5974	0,7788	0,8009	0,7566	0,7832
	0,5652	0,5783	0,6783	0,7913	0,8217	0,8130	0,8391
	0,6175	0,6452	0,6682	0,8157	0,8387	0,8295	0,8203
	0,5922	0,6262	0,6748	0,8010	0,8301	0,8155	0,8010
$\hat{\mu}$	0,5943	0,5851	0,6370	0,7684	0,8046	0,7890	0,8011
$\hat{\sigma}$	0,0348	0,0299	0,0391	0,0381	0,0322	0,0317	0,0306

(a) accuracy

	[Transduc]	[Freeze]	[Ext]	[Hybrid]	[Simple]	[Self]	[Induc]
	0,3644	0,3533	0,4780	0,6009	0,7007	0,6100	0,6139
	0,3745	0,3522	0,4796	0,5083	0,7215	0,6461	0,7094
	0,3936	0,3365	0,4352	0,5367	0,6457	0,6020	0,6230
	0,4186	0,4120	0,5821	0,6738	0,7862	0,7512	0,7668
	0,3803	0,3799	0,5186	0,5565	0,7033	0,6884	0,7110
	0,4226	0,4128	0,4875	0,5976	0,6830	0,5803	0,6537
	0,4157	0,4052	0,4617	0,5767	0,6960	0,6073	0,6465
	0,4494	0,4485	0,4942	0,6169	0,6609	0,6476	0,6838
	0,4385	0,3882	0,4719	0,5649	0,6914	0,7135	0,6822
	0,4043	0,3965	0,4943	0,6159	0,6192	0,5772	0,6446
	0,4965	0,4207	0,5049	0,6166	0,7144	0,6492	0,7052
	0,4968	0,3809	0,5364	0,6168	0,6639	0,6468	0,6762
	0,4776	0,4282	0,5379	0,6013	0,7097	0,6683	0,7044
	0,4794	0,3895	0,5809	0,6315	0,6965	0,6943	0,6735
	0,4582	0,4236	0,4858	0,5921	0,6706	0,6753	0,7340
	0,4280	0,3609	0,4718	0,6459	0,7454	0,6783	0,7291
	0,3831	0,3701	0,4529	0,5235	0,6328	0,5692	0,6169
	0,4340	0,3718	0,4299	0,5451	0,6057	0,5922	0,5952
	0,4255	0,3799	0,5066	0,6207	0,7467	0,7401	0,7716
	0,3788	0,3582	0,4334	0,5439	0,7359	0,6705	0,7318
	0,4157	0,3683	0,5118	0,6027	0,5967	0,5643	0,6426
	0,4246	0,4147	0,4264	0,5958	0,6114	0,6046	0,6080
	0,4249	0,3778	0,5051	0,6497	0,7336	0,7166	0,7228
	0,4314	0,3795	0,5813	0,6663	0,7523	0,6545	0,7126
	0,5107	0,4024	0,4846	0,7245	0,7515	0,7134	0,7653
	0,4560	0,3383	0,4868	0,7316	0,7049	0,6942	0,7350
	0,5281	0,3338	0,4607	0,7078	0,7538	0,6925	0,7255
	0,4333	0,4047	0,5220	0,6102	0,7202	0,6670	0,7419
	0,4666	0,4020	0,5273	0,6538	0,7338	0,7276	0,6812
	0,4517	0,4127	0,4970	0,6528	0,7205	0,7042	0,6803
$\hat{\mu}$	0,4354	0,3868	0,4949	0,6127	0,6969	0,6582	0,6896
$\hat{\sigma}$	0,0415	0,0291	0,0420	0,0559	0,0493	0,0534	0,0498

(b) F-measure

Table C.31: Data-set `cardio10` classification performance on the 10×3 test-set folds

	[Transduc]	[Freeze]	[Ext]	[Hybrid]	[Simple]	[Self]	[Induc]
	0,9487	0,9551	0,8397	0,8910	0,9039	0,8846	0,9359
	0,9122	0,9122	0,7162	0,8716	0,8919	0,8378	0,8919
	0,9618	0,9542	0,8092	0,8779	0,9237	0,8702	0,9008
	0,9178	0,9178	0,8219	0,8630	0,9247	0,8973	0,8767
	0,8862	0,8802	0,8084	0,8743	0,8802	0,8623	0,8623
	0,9161	0,9231	0,7413	0,8182	0,8741	0,8881	0,8951
	0,9161	0,9290	0,7226	0,7613	0,8645	0,7677	0,7742
	0,9060	0,9060	0,7718	0,8456	0,8591	0,8188	0,8322
	0,8881	0,9301	0,7063	0,8042	0,8252	0,8392	0,8252
	0,9321	0,9383	0,7531	0,7778	0,8704	0,8395	0,8395
	0,9060	0,8591	0,7920	0,8456	0,8658	0,8456	0,8859
	0,9728	0,9660	0,8776	0,9456	0,9592	0,9456	0,9592
	0,8864	0,8939	0,6818	0,8258	0,8485	0,8333	0,8485
	0,9324	0,8987	0,8378	0,8581	0,9189	0,9054	0,9054
	0,9127	0,9048	0,8254	0,8651	0,8810	0,8889	0,8810
	0,9363	0,9172	0,8217	0,8726	0,8790	0,8981	0,8917
	0,9231	0,9039	0,7885	0,9039	0,8974	0,8782	0,9167
	0,9573	0,9451	0,8171	0,9085	0,9024	0,8842	0,8842
	0,9455	0,9333	0,7879	0,8667	0,8727	0,8242	0,8485
	0,9359	0,9103	0,8269	0,8333	0,8910	0,8205	0,8526
	0,8947	0,8750	0,7697	0,8421	0,8618	0,8421	0,8290
	0,9264	0,9080	0,8160	0,9018	0,9018	0,8896	0,9203
	0,9521	0,9110	0,7123	0,8562	0,8904	0,8904	0,8767
	0,9241	0,9103	0,7379	0,8552	0,8897	0,8552	0,8828
	0,8615	0,8923	0,7462	0,8385	0,8385	0,8231	0,8077
	0,9157	0,8916	0,7410	0,8072	0,8795	0,8434	0,8434
	0,9669	0,9669	0,7881	0,8874	0,9272	0,8676	0,8609
	0,9392	0,9460	0,7568	0,8987	0,8919	0,8716	0,8851
	0,8917	0,8981	0,6943	0,7962	0,8408	0,8089	0,8026
	0,9296	0,9437	0,8310	0,8873	0,9014	0,9155	0,8803
$\hat{\mu}$	0,9232	0,9174	0,7780	0,8560	0,8852	0,8612	0,8699
$\hat{\sigma}$	0,0265	0,0268	0,0502	0,0411	0,0292	0,0373	0,0406

(a) accuracy

	[Transduc]	[Freeze]	[Ext]	[Hybrid]	[Simple]	[Self]	[Induc]
	0,9448	0,9515	0,8287	0,8828	0,8977	0,8769	0,9328
	0,9049	0,9048	0,7012	0,8638	0,8846	0,8278	0,8849
	0,9568	0,9487	0,7938	0,8673	0,9149	0,8624	0,8925
	0,9211	0,9216	0,8184	0,8627	0,9295	0,8971	0,8787
	0,8778	0,8722	0,7906	0,8564	0,8659	0,8439	0,8429
	0,9086	0,9174	0,7256	0,8129	0,8726	0,8859	0,8913
	0,9193	0,9345	0,7168	0,7641	0,8692	0,7748	0,7778
	0,9107	0,9119	0,7688	0,8441	0,8615	0,8163	0,8332
	0,8933	0,9332	0,7107	0,8051	0,8311	0,8387	0,8276
	0,9293	0,9351	0,7475	0,7769	0,8731	0,8322	0,8274
	0,9125	0,8631	0,7923	0,8397	0,8663	0,8399	0,8840
	0,9701	0,9637	0,8631	0,9429	0,9556	0,9418	0,9561
	0,8858	0,8926	0,6564	0,8268	0,8490	0,8317	0,8480
	0,9287	0,8970	0,8349	0,8554	0,9187	0,8998	0,9004
	0,9151	0,9061	0,8273	0,8626	0,8845	0,8897	0,8835
	0,9314	0,9115	0,8109	0,8659	0,8734	0,8919	0,8830
	0,9156	0,9010	0,7774	0,8962	0,8894	0,8718	0,9112
	0,9529	0,9422	0,8188	0,9039	0,8921	0,8730	0,8734
	0,9432	0,9310	0,7838	0,8668	0,8714	0,8152	0,8498
	0,9263	0,9029	0,8287	0,8320	0,8857	0,8201	0,8536
	0,8866	0,8663	0,7685	0,8308	0,8544	0,8329	0,8210
	0,9253	0,9077	0,8224	0,9015	0,8999	0,8904	0,9198
	0,9505	0,9106	0,6949	0,8553	0,8916	0,8930	0,8760
	0,9190	0,9048	0,7398	0,8477	0,8833	0,8457	0,8786
	0,8542	0,8869	0,7487	0,8348	0,8314	0,8110	0,8017
	0,9160	0,8908	0,7477	0,8096	0,8818	0,8437	0,8433
	0,9675	0,9678	0,7926	0,8787	0,9304	0,8592	0,8535
	0,9356	0,9436	0,7487	0,8939	0,8878	0,8665	0,8758
	0,9013	0,9052	0,7101	0,8000	0,8460	0,8165	0,8088
	0,9297	0,9446	0,8365	0,8858	0,8998	0,9114	0,8788
$\hat{\mu}$	0,9211	0,9157	0,7735	0,8522	0,8831	0,8567	0,8663
$\hat{\sigma}$	0,0262	0,0272	0,0514	0,0392	0,0284	0,0368	0,0395

(b) F-measure

Table C.32: Data-set `coil` classification performance on the 10×3 test-set folds

	[Transduc]	[Freeze]	[Ext]	[Hybrid]	[Simple]	[Self]	[Induc]
	0,9732	0,9664	0,9396	0,9128	0,9262	0,9329	0,9329
	0,9759	0,9759	0,9398	0,8494	0,9458	0,9277	0,9398
	0,9819	0,9819	0,9458	0,9337	0,9337	0,9398	0,9518
	0,9856	0,9856	0,9425	0,8921	0,9065	0,9640	0,9425
	0,9847	0,9847	0,9542	0,9389	0,9466	0,9542	0,9695
	0,9860	0,9860	0,9511	0,8951	0,9371	0,9511	0,9301
	0,9936	0,9872	0,9423	0,9103	0,9487	0,9615	0,9295
	0,9865	0,9865	0,9595	0,8919	0,9460	0,9460	0,9392
	0,9800	0,9800	0,9533	0,5000	0,9400	0,9533	0,9467
	0,9803	0,9803	0,9671	0,8355	0,9408	0,9605	0,9540
	0,9867	0,9867	0,9533	0,9667	0,9133	0,9600	0,9200
	0,9810	0,9810	0,9747	0,9051	0,9304	0,9684	0,9430
	0,9835	0,9917	0,9835	0,8926	0,9504	0,9091	0,9339
	0,9756	0,9878	0,9634	0,9207	0,9329	0,9390	0,9451
	0,9737	0,9737	0,9276	0,9276	0,9342	0,9145	0,9079
	0,9737	0,9737	0,9540	0,9079	0,9276	0,9605	0,9474
	0,9939	0,9879	0,9697	0,5697	0,9939	0,9818	0,9818
	0,9833	0,9750	0,9583	0,9500	0,9083	0,9500	0,9167
	0,9675	0,9805	0,9546	0,7727	0,9416	0,9610	0,9286
	0,9939	0,9817	0,9695	0,9268	0,9390	0,9695	0,9146
	0,9832	1,0000	0,9748	0,9496	0,9496	0,9748	0,9412
	0,9935	0,9869	0,9804	0,5882	0,9412	0,9412	0,9281
	1,0000	0,9795	0,9726	0,8904	0,9521	0,9521	0,9521
	0,9880	0,9880	0,9581	0,8982	0,9162	0,9222	0,9401
	0,9795	0,9795	0,9795	0,7192	0,9658	0,9726	0,9658
	0,9521	0,9581	0,9581	0,4731	0,9641	0,9521	0,9521
	0,9571	0,9714	0,9429	0,8571	0,9857	0,9714	0,9857
	0,9886	0,9886	0,9716	0,9489	0,9602	0,9659	0,9546
	0,9583	0,9444	0,9444	0,9167	0,9444	0,9514	0,9167
	1,0000	1,0000	0,9718	0,9366	0,9507	0,9507	0,9578
$\hat{\mu}$	0,9814	0,9810	0,9586	0,8492	0,9424	0,9520	0,9423
$\hat{\sigma}$	0,0117	0,0111	0,0143	0,1374	0,0196	0,0177	0,0188

(a) accuracy

	[Transduc]	[Freeze]	[Ext]	[Hybrid]	[Simple]	[Self]	[Induc]
	0,9960	0,9959	0,9932	0,9840	0,9876	0,9910	0,9917
	0,9987	0,9987	0,9920	0,9892	0,9880	0,9807	0,9893
	0,9984	0,9984	0,9951	0,9914	0,9892	0,9916	0,9911
	0,9987	0,9994	0,9947	0,9952	0,9834	0,9954	0,9857
	0,9986	0,9988	0,9984	0,9955	0,9948	0,9941	0,9967
	1,0000	0,9998	0,9973	0,9844	0,9859	0,9917	0,9879
	0,9997	0,9995	0,9951	0,9824	0,9895	0,9929	0,9868
	0,9978	0,9980	0,9978	0,9855	0,9933	0,9938	0,9908
	0,9989	0,9993	0,9986	0,9802	0,9954	0,9941	0,9908
	0,9993	0,9984	0,9997	0,9896	0,9944	0,9951	0,9951
	1,0000	0,9993	0,9977	0,9921	0,9830	0,9930	0,9840
	0,9997	0,9982	0,9981	0,9888	0,9881	0,9987	0,9914
	0,9997	0,9997	0,9986	0,9924	0,9976	0,9937	0,9913
	0,9991	0,9997	0,9973	0,9919	0,9912	0,9912	0,9917
	0,9995	0,9990	0,9952	0,9807	0,9697	0,9745	0,9684
	0,9979	0,9965	0,9958	0,9960	0,9834	0,9939	0,9904
	0,9997	0,9985	0,9993	0,9938	0,9997	0,9993	0,9982
	0,9972	0,9958	0,9956	0,9924	0,9816	0,9969	0,9895
	0,9990	0,9978	0,9942	0,9888	0,9876	0,9952	0,9807
	1,0000	1,0000	0,9983	0,9891	0,9885	0,9966	0,9809
	1,0000	1,0000	0,9976	1,0000	0,9970	0,9989	0,9929
	1,0000	0,9995	0,9990	0,9615	0,9871	0,9939	0,9861
	1,0000	1,0000	0,9987	0,9927	0,9924	0,9930	0,9935
	0,9988	0,9991	0,9960	0,9756	0,9823	0,9897	0,9832
	1,0000	0,9994	1,0000	0,9862	0,9962	0,9954	0,9975
	0,9974	0,9976	0,9961	0,8400	0,9963	0,9948	0,9906
	0,9996	0,9971	0,9963	0,9905	0,9990	0,9967	0,9996
	0,9999	0,9987	0,9988	0,9935	0,9948	0,9970	0,9915
	0,9975	0,9897	0,9940	0,9832	0,9924	0,9929	0,9860
	1,0000	1,0000	0,9982	0,9866	0,9968	0,9954	0,9964
$\hat{\mu}$	0,9990	0,9984	0,9969	0,9831	0,9902	0,9934	0,9897
$\hat{\sigma}$	0,0010	0,0020	0,0020	0,0280	0,0066	0,0049	0,0063

(b) ROC AUC

Table C.33: Data-set `digit1` classification performance on the 10×3 test-set folds

	[Transduc]	[Freeze]	[Ext]	[Hybrid]	[Simple]	[Self]	[Induc]
	0,6169	0,6169	0,6669	0,6541	0,8635	0,8047	0,8554
	0,5929	0,5935	0,6390	0,6133	0,8432	0,7839	0,8452
	0,5977	0,6126	0,6511	0,6417	0,8675	0,7924	0,8621
	0,6047	0,6067	0,6603	0,6308	0,8662	0,8085	0,8648
	0,6182	0,6162	0,6616	0,6502	0,8411	0,7844	0,8458
	0,6115	0,6081	0,6522	0,6429	0,8525	0,7997	0,8551
	0,6026	0,6192	0,6570	0,6033	0,8595	0,7989	0,8547
	0,6256	0,6236	0,6700	0,6057	0,8661	0,8038	0,8721
	0,6155	0,6219	0,6548	0,6219	0,8729	0,8207	0,8723
	0,6010	0,5978	0,6446	0,5822	0,8636	0,7960	0,8577
	0,6153	0,6018	0,6506	0,6337	0,8474	0,7788	0,8440
	0,6429	0,6229	0,6776	0,6396	0,8788	0,8055	0,8741
	0,6324	0,6304	0,6727	0,6512	0,8622	0,7910	0,8589
	0,5910	0,5844	0,6320	0,6241	0,8484	0,7988	0,8432
	0,6053	0,5901	0,6389	0,6191	0,8502	0,7921	0,8594
	0,6374	0,6219	0,6718	0,6759	0,8724	0,8123	0,8771
	0,6206	0,5978	0,6614	0,6496	0,8521	0,7899	0,8507
	0,6540	0,6333	0,6850	0,6643	0,8799	0,8180	0,8735
	0,6122	0,6036	0,6340	0,6492	0,8531	0,7849	0,8610
	0,6101	0,6021	0,6514	0,6281	0,8576	0,7951	0,8550
	0,5945	0,5938	0,6316	0,5978	0,8603	0,7962	0,8610
	0,6177	0,6130	0,6536	0,6177	0,8627	0,7997	0,8654
	0,6030	0,5972	0,6538	0,6351	0,8629	0,8108	0,8533
	0,6194	0,6085	0,6569	0,6153	0,8656	0,7988	0,8609
	0,5965	0,5985	0,6334	0,6233	0,8593	0,7889	0,8566
	0,6290	0,6249	0,6540	0,6256	0,8571	0,7928	0,8612
	0,6325	0,6325	0,6662	0,6609	0,8636	0,8073	0,8676
	0,6213	0,6311	0,6573	0,6174	0,8555	0,8031	0,8594
	0,6314	0,6227	0,6636	0,6629	0,8642	0,8033	0,8669
	0,5818	0,5912	0,6146	0,6199	0,8510	0,7882	0,8537
$\hat{\mu}$	0,6145	0,6106	0,6539	0,6319	0,8600	0,7983	0,8596
$\hat{\sigma}$	0,0167	0,0142	0,0155	0,0217	0,0095	0,0102	0,0091

(a) accuracy

	[Transduc]	[Freeze]	[Ext]	[Hybrid]	[Simple]	[Self]	[Induc]
	0,7930	0,7926	0,7561	0,8890	0,9427	0,8760	0,9423
	0,7941	0,7928	0,7618	0,8704	0,9323	0,8692	0,9285
	0,8017	0,8169	0,7693	0,8970	0,9359	0,8816	0,9383
	0,7809	0,7766	0,7761	0,8811	0,9436	0,8887	0,9393
	0,7961	0,7964	0,7743	0,8743	0,9273	0,8654	0,9290
	0,7662	0,7800	0,7751	0,8780	0,9338	0,8698	0,9329
	0,7906	0,8106	0,7857	0,8841	0,9361	0,8731	0,9344
	0,8017	0,8046	0,7797	0,8800	0,9380	0,8800	0,9415
	0,7922	0,8072	0,7767	0,8818	0,9480	0,9048	0,9490
	0,7948	0,7881	0,7745	0,8861	0,9416	0,8826	0,9388
	0,7795	0,7922	0,7775	0,8831	0,9329	0,8715	0,9278
	0,7963	0,8203	0,7901	0,9027	0,9476	0,8984	0,9485
	0,7676	0,8152	0,7719	0,8816	0,9316	0,8765	0,9347
	0,7751	0,8033	0,7502	0,8826	0,9339	0,8949	0,9300
	0,7619	0,7857	0,7607	0,8928	0,9342	0,8786	0,9381
	0,7938	0,8055	0,7824	0,9022	0,9418	0,8887	0,9427
	0,7624	0,7632	0,7691	0,8936	0,9352	0,8790	0,9356
	0,7831	0,7761	0,7922	0,9030	0,9351	0,8930	0,9349
	0,7720	0,7918	0,7666	0,8953	0,9328	0,8767	0,9342
	0,7790	0,7734	0,7807	0,8929	0,9398	0,8841	0,9349
	0,7848	0,7846	0,7784	0,8781	0,9407	0,8906	0,9406
	0,7847	0,7868	0,7855	0,8858	0,9390	0,8843	0,9367
	0,7882	0,7969	0,7878	0,8836	0,9382	0,8916	0,9372
	0,7830	0,7943	0,7785	0,9021	0,9427	0,8932	0,9397
	0,7777	0,7953	0,7878	0,8949	0,9395	0,8809	0,9398
	0,7708	0,7858	0,7787	0,8690	0,9278	0,8737	0,9301
	0,7727	0,7998	0,7890	0,9014	0,9444	0,8955	0,9455
	0,7697	0,8087	0,8015	0,8825	0,9335	0,8818	0,9351
	0,7937	0,8294	0,7995	0,9049	0,9417	0,8934	0,9443
	0,7778	0,7856	0,7791	0,8884	0,9293	0,8758	0,9300
$\hat{\mu}$	0,7828	0,7953	0,7779	0,8881	0,9374	0,8831	0,9371
$\hat{\sigma}$	0,0116	0,0150	0,0117	0,0101	0,0055	0,0097	0,0057

(b) ROC AUC

Table C.34: Data-set eeg classification performance on the 10×3 test-set folds

	[Transduc]	[Freeze]	[Ext]	[Hybrid]	[Simple]	[Self]	[Induc]
	0,4931	0,4931	0,4931	0,4931	0,6736	0,7014	0,7083
	0,5036	0,5036	0,5532	0,5036	0,6950	0,6383	0,7092
	0,5357	0,5357	0,5571	0,5357	0,6500	0,6286	0,7643
	0,4000	0,4000	0,4240	0,4000	0,5840	0,6480	0,6080
	0,4912	0,4912	0,5439	0,4912	0,6725	0,6550	0,6842
	0,5093	0,5093	0,5404	0,5093	0,6211	0,6894	0,6957
	0,5466	0,5466	0,5466	0,5466	0,7019	0,6335	0,7453
	0,4834	0,4834	0,5298	0,4834	0,7417	0,7086	0,7086
	0,4551	0,4551	0,4872	0,4551	0,6282	0,6923	0,6154
	0,5667	0,5667	0,6267	0,5667	0,6733	0,7000	0,7667
	0,5200	0,4800	0,5667	0,5200	0,7267	0,7200	0,7200
	0,4667	0,5333	0,5704	0,4667	0,6519	0,7037	0,7778
	0,4467	0,5533	0,4867	0,4467	0,6800	0,6533	0,6533
	0,4825	0,5175	0,6014	0,4825	0,6923	0,6783	0,6504
	0,5583	0,4417	0,7117	0,5583	0,7362	0,7853	0,7055
	0,5192	0,4808	0,5833	0,5192	0,8333	0,6731	0,7564
	0,5210	0,4790	0,6587	0,5210	0,7186	0,7605	0,7485
	0,5000	0,5000	0,6409	0,5000	0,6901	0,6831	0,6901
	0,5036	0,4965	0,6525	0,5036	0,7660	0,7447	0,7376
	0,4706	0,5294	0,5882	0,4706	0,6471	0,7386	0,7124
	0,5197	0,4803	0,6316	0,5197	0,7105	0,6579	0,7040
	0,6197	0,4225	0,6056	0,4225	0,7324	0,7042	0,7465
	0,4305	0,5695	0,5695	0,4305	0,7086	0,7086	0,6623
	0,4467	0,5533	0,5533	0,4467	0,6800	0,7133	0,7133
	0,5605	0,5350	0,6943	0,4650	0,6815	0,7516	0,7261
	0,4268	0,5732	0,5061	0,4268	0,6829	0,6463	0,6707
	0,5185	0,4815	0,6420	0,5185	0,6914	0,6728	0,7037
	0,5461	0,4539	0,6383	0,5461	0,7092	0,7092	0,7589
	0,5290	0,4710	0,6159	0,5290	0,6739	0,6739	0,7246
	0,6084	0,4406	0,7203	0,5594	0,7343	0,7133	0,7483
$\hat{\mu}$	0,5060	0,4992	0,5846	0,4946	0,6929	0,6929	0,7105
$\hat{\sigma}$	0,0510	0,0446	0,0701	0,0442	0,0471	0,0392	0,0429

(a) accuracy

	[Transduc]	[Freeze]	[Ext]	[Hybrid]	[Simple]	[Self]	[Induc]
	0,7260	0,7054	0,7382	0,5174	0,8022	0,8054	0,8294
	0,7364	0,7264	0,8676	0,6682	0,7668	0,7482	0,7646
	0,7257	0,6966	0,8002	0,6933	0,7849	0,8029	0,8520
	0,8248	0,7837	0,8552	0,5848	0,8085	0,8188	0,8157
	0,7730	0,7332	0,8644	0,6100	0,8127	0,7997	0,8091
	0,7059	0,6854	0,8223	0,5924	0,7204	0,7464	0,7519
	0,7477	0,7193	0,7755	0,5465	0,7692	0,7943	0,8194
	0,8086	0,7538	0,8425	0,5962	0,8392	0,8494	0,8298
	0,7876	0,7667	0,8411	0,5661	0,7945	0,8103	0,7820
	0,7743	0,7819	0,8679	0,5179	0,7662	0,8169	0,8231
	0,7943	0,8348	0,8570	0,6109	0,7968	0,8090	0,8247
	0,8020	0,6887	0,8508	0,6178	0,7778	0,8169	0,8671
	0,7238	0,6972	0,7964	0,5916	0,7658	0,7883	0,7300
	0,6947	0,7017	0,8300	0,5806	0,8012	0,7711	0,7240
	0,8083	0,7044	0,8813	0,6221	0,8055	0,8549	0,8072
	0,8110	0,7598	0,8693	0,5716	0,8846	0,7983	0,8287
	0,7458	0,7500	0,8401	0,6167	0,7912	0,8337	0,8228
	0,7290	0,7143	0,8455	0,6277	0,8232	0,8362	0,7989
	0,7859	0,7457	0,8692	0,6759	0,8488	0,8319	0,7915
	0,7483	0,7358	0,8323	0,6289	0,7755	0,7855	0,7700
	0,7520	0,7253	0,8557	0,6396	0,7905	0,7368	0,7732
	0,7411	0,6587	0,8201	0,6128	0,7826	0,7670	0,8265
	0,8406	0,7358	0,8639	0,6032	0,8210	0,7774	0,7645
	0,7955	0,7310	0,8410	0,5899	0,7777	0,7885	0,8033
	0,7161	0,7029	0,8562	0,7590	0,7840	0,8004	0,8067
	0,7799	0,7351	0,8135	0,4943	0,7768	0,7791	0,8008
	0,7656	0,8019	0,8532	0,6171	0,7695	0,7476	0,7467
	0,7585	0,7060	0,9032	0,6202	0,8362	0,8152	0,8572
	0,7543	0,8042	0,8885	0,6320	0,7376	0,7671	0,7964
	0,7607	0,7048	0,8734	0,5980	0,7876	0,7541	0,7885
$\hat{\mu}$	0,7639	0,7330	0,8438	0,6068	0,7933	0,7950	0,8002
$\hat{\sigma}$	0,0368	0,0398	0,0343	0,0525	0,0327	0,0313	0,0356

(b) ROC AUC

Table C.35: Data-set g241c classification performance on the 10×3 test-set folds

	[Transduc]	[Freeze]	[Ext]	[Hybrid]	[Simple]	[Self]	[Induc]
	0,5411	0,5411	0,6575	0,5411	0,7534	0,7123	0,6918
	0,5436	0,5436	0,6175	0,5436	0,6779	0,6644	0,6846
	0,4675	0,4675	0,4970	0,5444	0,6331	0,6627	0,5799
	0,4444	0,4444	0,5903	0,4444	0,6736	0,7083	0,6389
	0,5230	0,5230	0,6322	0,5230	0,7126	0,6609	0,6954
	0,4675	0,4675	0,5325	0,4675	0,6299	0,6623	0,6494
	0,5385	0,5385	0,6692	0,5385	0,7539	0,7462	0,7615
	0,5190	0,5190	0,6076	0,5190	0,6582	0,7025	0,6962
	0,5180	0,5180	0,6259	0,5180	0,7266	0,6978	0,6763
	0,4672	0,4672	0,6131	0,4672	0,6350	0,7080	0,7080
	0,5032	0,5032	0,5796	0,5032	0,6561	0,6561	0,6497
	0,5282	0,5282	0,6761	0,4718	0,7042	0,6197	0,6901
	0,4750	0,4750	0,5625	0,4750	0,6438	0,6813	0,6250
	0,5069	0,5069	0,5833	0,5069	0,6667	0,7083	0,6319
	0,5064	0,5064	0,5833	0,5064	0,6731	0,6539	0,6667
	0,5337	0,5337	0,6012	0,5337	0,7423	0,7117	0,6933
	0,5606	0,5606	0,6591	0,5606	0,7500	0,7349	0,7197
	0,5704	0,5141	0,6338	0,5141	0,6831	0,7042	0,6972
	0,4460	0,4460	0,5541	0,4460	0,6554	0,7027	0,6689
	0,4487	0,4487	0,5064	0,4487	0,6859	0,6795	0,6539
	0,4966	0,5101	0,6913	0,4899	0,6711	0,6644	0,6577
	0,7862	0,4552	0,6690	0,4552	0,7310	0,7448	0,7724
	0,4877	0,5185	0,6482	0,4815	0,7531	0,7222	0,7161
	0,4691	0,5309	0,5556	0,4691	0,6852	0,6605	0,6975
	0,4768	0,5232	0,5298	0,4768	0,6225	0,6689	0,6159
	0,5270	0,4865	0,6149	0,5135	0,7162	0,7230	0,6960
	0,4963	0,4889	0,7407	0,5111	0,7111	0,7333	0,7185
	0,4932	0,5068	0,6014	0,4932	0,7230	0,7500	0,6892
	0,4428	0,4275	0,6412	0,4275	0,6641	0,6641	0,6641
	0,4556	0,5444	0,5681	0,4556	0,7041	0,6923	0,7337
$\hat{\mu}$	0,5080	0,5015	0,6081	0,4949	0,6899	0,6934	0,6813
$\hat{\sigma}$	0,0635	0,0353	0,0564	0,0354	0,0402	0,0328	0,0414

(a) accuracy

	[Transduc]	[Freeze]	[Ext]	[Hybrid]	[Simple]	[Self]	[Induc]
	0,7710	0,7629	0,7565	0,5302	0,7962	0,7870	0,7391
	0,7934	0,7605	0,7204	0,5873	0,7309	0,7594	0,7577
	0,7211	0,6745	0,5815	0,6620	0,6753	0,7373	0,6620
	0,8006	0,8285	0,8498	0,5800	0,7671	0,7584	0,7932
	0,7931	0,7759	0,7277	0,5142	0,8130	0,7316	0,8056
	0,7759	0,7710	0,7276	0,6661	0,7269	0,7741	0,7519
	0,7948	0,7731	0,8214	0,7166	0,7932	0,8370	0,8321
	0,7115	0,7142	0,7253	0,5468	0,7210	0,7966	0,7814
	0,7253	0,7038	0,7245	0,5489	0,7747	0,7672	0,7828
	0,7746	0,7718	0,7342	0,5781	0,7655	0,8055	0,7976
	0,8473	0,7223	0,8413	0,5818	0,7619	0,7334	0,7342
	0,8145	0,8734	0,7749	0,6457	0,7331	0,7106	0,7371
	0,7810	0,6786	0,7112	0,6137	0,6964	0,7286	0,7206
	0,7976	0,7397	0,8254	0,6209	0,7480	0,7740	0,6912
	0,8516	0,7133	0,8254	0,5259	0,7486	0,7406	0,7317
	0,8530	0,7294	0,7996	0,5734	0,8375	0,7883	0,7905
	0,8858	0,8003	0,8346	0,6427	0,7933	0,8020	0,8233
	0,8735	0,7848	0,8523	0,6074	0,8047	0,7642	0,7710
	0,8518	0,7766	0,8790	0,5815	0,7592	0,8135	0,7752
	0,8626	0,7507	0,8385	0,5598	0,7602	0,7813	0,8101
	0,7451	0,7972	0,8241	0,6667	0,6894	0,6987	0,7298
	0,8646	0,7950	0,8732	0,6364	0,8310	0,8128	0,8238
	0,8222	0,7189	0,8147	0,6367	0,8174	0,7966	0,8143
	0,8417	0,8081	0,8430	0,6773	0,8027	0,7974	0,8353
	0,8620	0,7672	0,8319	0,5446	0,7683	0,7325	0,7198
	0,8403	0,7493	0,8174	0,6483	0,8093	0,7971	0,7870
	0,8217	0,6805	0,8199	0,6976	0,7970	0,7802	0,7940
	0,8451	0,7184	0,8835	0,6713	0,7923	0,8458	0,7739
	0,8045	0,7045	0,8452	0,5404	0,7464	0,7517	0,7306
	0,8824	0,7542	0,8827	0,5891	0,7986	0,7732	0,7915
$\hat{\mu}$	0,8137	0,7533	0,7996	0,6064	0,7686	0,7726	0,7696
$\hat{\sigma}$	0,0485	0,0461	0,0679	0,0554	0,0414	0,0357	0,0429

(b) ROC AUC

Table C.36: Data-set `g241n` classification performance on the 10×3 test-set folds

	[Transduc]	[Freeze]	[Ext]	[Hybrid]	[Simple]	[Self]	[Induc]
	0,7885	0,7308	0,7019	0,7212	0,7212	0,7596	0,7308
	0,8041	0,8041	0,7835	0,8041	0,7732	0,7835	0,8144
	0,7583	0,8083	0,7083	0,7250	0,7167	0,7167	0,7583
	0,8125	0,8393	0,8036	0,8036	0,8036	0,8304	0,8304
	0,6923	0,7019	0,7596	0,7789	0,7596	0,7404	0,7308
	0,8624	0,8257	0,7798	0,6697	0,7706	0,7706	0,7706
	0,8447	0,7864	0,8350	0,8544	0,8447	0,8058	0,8155
	0,6818	0,6818	0,7273	0,6000	0,7364	0,7091	0,7364
	0,8440	0,8532	0,8257	0,7890	0,8073	0,7798	0,8073
	0,7321	0,7232	0,6875	0,7946	0,7500	0,7321	0,7946
	0,7685	0,6759	0,7870	0,7685	0,8704	0,8982	0,8519
	0,8125	0,8021	0,8229	0,8333	0,8229	0,8333	0,8438
	0,8547	0,7350	0,7863	0,7949	0,8803	0,8633	0,8462
	0,8173	0,8750	0,6923	0,7212	0,7789	0,7981	0,7308
	0,8500	0,7800	0,8100	0,8000	0,8300	0,7900	0,8500
	0,7984	0,7661	0,7903	0,7258	0,8226	0,8307	0,7823
	0,7196	0,8318	0,7290	0,6542	0,7383	0,7570	0,7196
	0,8100	0,8200	0,7700	0,7900	0,7700	0,7900	0,8100
	0,7157	0,7647	0,7157	0,6667	0,7843	0,7745	0,7647
	0,8853	0,7951	0,7459	0,7377	0,7541	0,8361	0,8197
	0,8876	0,8315	0,8202	0,8539	0,9214	0,9326	0,9326
	0,8475	0,8136	0,7966	0,7712	0,8305	0,8220	0,8475
	0,7983	0,7983	0,8151	0,7563	0,8235	0,8403	0,8656
	0,6861	0,7907	0,8256	0,7791	0,6977	0,8023	0,7674
	0,8319	0,7611	0,7611	0,7434	0,7876	0,7788	0,7965
	0,7835	0,7629	0,7423	0,7938	0,8247	0,8247	0,8247
	0,8214	0,7768	0,7946	0,7946	0,8036	0,8482	0,8482
	0,7481	0,7786	0,8092	0,7939	0,8626	0,8473	0,8244
	0,7851	0,8037	0,7477	0,7290	0,8037	0,7944	0,7851
	0,7778	0,7593	0,7593	0,7685	0,8056	0,8241	0,7870
$\hat{\mu}$	0,7940	0,7826	0,7711	0,7605	0,7965	0,8038	0,8029
$\hat{\sigma}$	0,0572	0,0480	0,0433	0,0581	0,0515	0,0501	0,0488

(a) accuracy

	[Transduc]	[Freeze]	[Ext]	[Hybrid]	[Simple]	[Self]	[Induc]
	0,7886	0,7240	0,7151	0,7522	0,7301	0,7740	0,7391
	0,7962	0,7920	0,7726	0,7581	0,7401	0,7578	0,7923
	0,7499	0,8025	0,7021	0,7176	0,7143	0,7146	0,7594
	0,8060	0,8305	0,7718	0,7846	0,7733	0,8168	0,8101
	0,6588	0,6724	0,7128	0,7666	0,7505	0,7274	0,7086
	0,8706	0,8232	0,7842	0,6778	0,7769	0,7757	0,7745
	0,8443	0,7787	0,8266	0,8509	0,8419	0,7981	0,8113
	0,6874	0,6761	0,7318	0,5601	0,7485	0,7151	0,7227
	0,8386	0,8487	0,8198	0,7820	0,8033	0,7686	0,7966
	0,7296	0,7234	0,6812	0,7923	0,7518	0,7308	0,7961
	0,7592	0,6629	0,7658	0,7194	0,8774	0,8992	0,8246
	0,7952	0,7933	0,7956	0,8164	0,8036	0,8144	0,8163
	0,8500	0,7329	0,7781	0,7773	0,8736	0,8559	0,8349
	0,8243	0,8754	0,6840	0,7188	0,7874	0,8032	0,7250
	0,8441	0,7731	0,8151	0,7743	0,8315	0,7983	0,8558
	0,7886	0,7633	0,7783	0,7135	0,8221	0,8144	0,7754
	0,6942	0,8227	0,7237	0,6359	0,7239	0,7433	0,7043
	0,7729	0,8096	0,7517	0,7614	0,7542	0,7799	0,8008
	0,7109	0,7742	0,6839	0,6398	0,7767	0,7458	0,7305
	0,8795	0,7883	0,7394	0,7270	0,7512	0,8275	0,8152
	0,8655	0,8132	0,8149	0,8445	0,9187	0,9312	0,9299
	0,8002	0,7743	0,7393	0,7189	0,8079	0,7838	0,8240
	0,7825	0,7875	0,8055	0,7513	0,8225	0,8430	0,8700
	0,6633	0,7797	0,8143	0,7756	0,6813	0,7912	0,7560
	0,7866	0,7500	0,7445	0,7146	0,7762	0,7606	0,7844
	0,7659	0,7486	0,7403	0,7875	0,8240	0,8226	0,8213
	0,8134	0,7669	0,7935	0,7850	0,7982	0,8492	0,8516
	0,7257	0,7846	0,8202	0,7979	0,8588	0,8437	0,8237
	0,7196	0,7891	0,7571	0,6899	0,8167	0,7954	0,7848
	0,7710	0,7450	0,7624	0,7705	0,7981	0,8227	0,7922
$\hat{\mu}$	0,7794	0,7735	0,7609	0,7454	0,7912	0,7968	0,7944
$\hat{\sigma}$	0,0607	0,0492	0,0438	0,0621	0,0530	0,0511	0,0505

(b) F-measure

Table C.37: Data-set `mice` classification performance on the 10×3 test-set folds

	[Transduc]	[Freeze]	[Ext]	[Hybrid]	[Simple]	[Self]	[Induc]
	0,5714	0,5790	0,6466	0,5714	0,6617	0,6015	0,6241
	0,5565	0,5652	0,6870	0,5391	0,6435	0,6087	0,6087
	0,5321	0,5413	0,6330	0,5229	0,6422	0,6147	0,6514
	0,6239	0,5963	0,6789	0,5321	0,6239	0,5872	0,5596
	0,6032	0,5794	0,6667	0,6111	0,6270	0,6667	0,6349
	0,6273	0,6636	0,7182	0,5364	0,6091	0,6636	0,6182
	0,6019	0,5833	0,5926	0,5833	0,6482	0,5741	0,6852
	0,6071	0,6161	0,6607	0,5089	0,6250	0,6161	0,6607
	0,6316	0,6140	0,6404	0,5614	0,6316	0,6491	0,6404
	0,6261	0,5913	0,6522	0,6087	0,7130	0,6609	0,6696
	0,5413	0,6606	0,5780	0,5872	0,6055	0,5963	0,5780
	0,6105	0,6000	0,6947	0,5790	0,6737	0,6526	0,6000
	0,5840	0,5840	0,6240	0,6720	0,6480	0,6400	0,6240
	0,5641	0,6667	0,6496	0,5897	0,5727	0,5470	0,5641
	0,6111	0,6759	0,6204	0,6111	0,6111	0,6204	0,6482
	0,5714	0,6429	0,6518	0,5982	0,6518	0,6071	0,6161
	0,5820	0,5574	0,6312	0,5082	0,6312	0,6312	0,6230
	0,4574	0,4729	0,6589	0,6357	0,5969	0,6279	0,6279
	0,6303	0,5882	0,5966	0,6135	0,6723	0,6219	0,7143
	0,5130	0,6435	0,5565	0,5217	0,5739	0,6174	0,5826
	0,6230	0,5492	0,6148	0,6148	0,6148	0,6230	0,6066
	0,6391	0,6391	0,6993	0,7293	0,7218	0,6993	0,6917
	0,6261	0,6261	0,6261	0,5826	0,6174	0,6174	0,6087
	0,6288	0,5379	0,6591	0,6970	0,6667	0,6742	0,6742
	0,6667	0,6061	0,6566	0,6768	0,6970	0,6869	0,6970
	0,5814	0,5659	0,5892	0,6124	0,6434	0,6357	0,6279
	0,5743	0,5941	0,5743	0,6040	0,6535	0,6040	0,6337
	0,5667	0,6167	0,6167	0,6250	0,6333	0,6250	0,6333
	0,7841	0,6705	0,7614	0,6477	0,6705	0,6250	0,6477
	0,5982	0,5982	0,5804	0,6071	0,6429	0,6429	0,5893
$\hat{\mu}$	0,5978	0,6008	0,6405	0,5963	0,6408	0,6279	0,6314
$\hat{\sigma}$	0,0555	0,0460	0,0459	0,0547	0,0351	0,0327	0,0384

(a) accuracy

	[Transduc]	[Freeze]	[Ext]	[Hybrid]	[Simple]	[Self]	[Induc]
	0,6415	0,6420	0,6712	0,6326	0,6808	0,6803	0,6796
	0,6141	0,6135	0,7590	0,6488	0,7074	0,6783	0,6943
	0,5455	0,5441	0,7102	0,5881	0,6654	0,6921	0,6621
	0,6532	0,6438	0,7192	0,6515	0,6561	0,6152	0,6626
	0,6423	0,6443	0,7040	0,7029	0,7090	0,6795	0,6884
	0,7072	0,7039	0,7434	0,5047	0,6592	0,6537	0,6509
	0,6389	0,6332	0,6676	0,6087	0,6650	0,6531	0,6722
	0,6715	0,6699	0,7062	0,6547	0,6898	0,6863	0,7148
	0,6916	0,6755	0,7179	0,6240	0,6786	0,6908	0,7038
	0,6205	0,6044	0,6981	0,7019	0,7897	0,7541	0,7698
	0,5817	0,6754	0,6633	0,6422	0,6410	0,6339	0,6468
	0,6618	0,6813	0,7309	0,6638	0,6979	0,6957	0,6607
	0,6275	0,6575	0,7227	0,7186	0,7435	0,7277	0,7072
	0,6058	0,6902	0,6777	0,6281	0,6540	0,6572	0,6601
	0,6690	0,7237	0,6658	0,5961	0,6754	0,7026	0,6806
	0,6743	0,6306	0,6957	0,6872	0,6981	0,6668	0,6649
	0,6747	0,6153	0,7213	0,5944	0,6445	0,6486	0,6820
	0,4918	0,4793	0,6792	0,6712	0,6691	0,6805	0,6856
	0,7122	0,6364	0,6606	0,6557	0,7225	0,7019	0,7507
	0,5758	0,6567	0,6100	0,5538	0,5999	0,6402	0,6208
	0,6301	0,5976	0,6989	0,6501	0,6551	0,6324	0,6832
	0,6632	0,6636	0,7907	0,7964	0,7923	0,7964	0,7923
	0,6521	0,6652	0,6805	0,6890	0,6732	0,7034	0,6935
	0,6338	0,6189	0,6671	0,6876	0,7191	0,7075	0,7026
	0,6290	0,6245	0,6771	0,7037	0,7594	0,6765	0,7565
	0,6394	0,6156	0,6719	0,6729	0,6806	0,6696	0,6840
	0,6026	0,6199	0,6537	0,6822	0,6940	0,6846	0,7040
	0,6285	0,6252	0,7046	0,6273	0,6737	0,6605	0,6757
	0,7537	0,7162	0,7849	0,7255	0,6909	0,7167	0,6940
	0,6268	0,6085	0,7077	0,6804	0,6830	0,7077	0,6802
$\hat{\mu}$	0,6387	0,6392	0,6987	0,6548	0,6889	0,6831	0,6908
$\hat{\sigma}$	0,0504	0,0487	0,0387	0,0560	0,0418	0,0370	0,0369

(b) ROC AUC

Table C.38: Data-set `retino` classification performance on the 10×3 test-set folds

	[Transduc]	[Freeze]	[Ext]	[Hybrid]	[Simple]	[Self]	[Induc]
	0,9587	0,9587	0,9628	0,9628	0,9504	0,9628	0,9463
	0,9194	0,9231	0,9267	0,9267	0,9194	0,9231	0,9048
	0,9167	0,9208	0,9208	0,9208	0,9083	0,9125	0,9083
	0,9256	0,9256	0,9256	0,9256	0,9256	0,9256	0,9174
	0,9323	0,9323	0,9323	0,9323	0,9283	0,9323	0,9203
	0,9130	0,9130	0,9130	0,9130	0,9051	0,9091	0,9012
	0,9546	0,9546	0,9546	0,9546	0,9508	0,9546	0,9583
	0,9412	0,9412	0,9412	0,9412	0,9333	0,9373	0,9294
	0,9380	0,9380	0,9380	0,9380	0,9343	0,9343	0,9343
	0,9207	0,9207	0,9276	0,9276	0,9310	0,9276	0,9345
	0,9306	0,9306	0,9306	0,9347	0,9347	0,9347	0,9306
	0,9360	0,9400	0,9400	0,9360	0,9200	0,9240	0,9160
	0,9558	0,9518	0,9558	0,9558	0,9558	0,9518	0,9518
	0,9267	0,9267	0,9341	0,9341	0,9304	0,9231	0,9304
	0,9170	0,9212	0,9212	0,9212	0,9212	0,9129	0,9170
	0,9310	0,9310	0,9310	0,9272	0,9310	0,9234	0,9234
	0,9392	0,9392	0,9392	0,9354	0,9354	0,9202	0,9202
	0,9160	0,9160	0,9240	0,9240	0,9240	0,9280	0,9240
	0,9242	0,9280	0,9318	0,9280	0,9205	0,9242	0,9205
	0,9306	0,9340	0,9375	0,9375	0,9340	0,9306	0,9306
	0,9143	0,9225	0,9225	0,9225	0,9143	0,9102	0,9102
	0,9154	0,9231	0,9308	0,9308	0,9308	0,9346	0,9269
	0,9272	0,9081	0,9272	0,9272	0,9272	0,9272	0,9272
	0,9087	0,9130	0,9130	0,9130	0,9087	0,9087	0,9087
	0,9228	0,9305	0,9305	0,9305	0,9266	0,9266	0,9305
	0,9352	0,9433	0,9474	0,9474	0,9312	0,9433	0,9393
	0,9297	0,9336	0,9375	0,9375	0,9336	0,9336	0,9336
	0,9304	0,9414	0,9414	0,9414	0,9377	0,9377	0,9414
	0,9459	0,9567	0,9567	0,9531	0,9567	0,9531	0,9495
	0,9239	0,9312	0,9312	0,9312	0,9312	0,9312	0,9167
$\hat{\mu}$	0,9294	0,9317	0,9342	0,9337	0,9297	0,9299	0,9268
$\hat{\sigma}$	0,0128	0,0130	0,0122	0,0120	0,0127	0,0135	0,0141

(a) accuracy

	[Transduc]	[Freeze]	[Ext]	[Hybrid]	[Simple]	[Self]	[Induc]
	0,8403	0,8321	0,8436	0,7053	0,8383	0,8422	0,8455
	0,7383	0,7445	0,7146	0,6679	0,7796	0,7894	0,7213
	0,6775	0,6899	0,6573	0,5342	0,5728	0,5397	0,6291
	0,7165	0,7126	0,7713	0,6782	0,7329	0,6507	0,7569
	0,6647	0,6626	0,6667	0,5445	0,7221	0,7269	0,7862
	0,6553	0,6375	0,6092	0,5828	0,7132	0,6879	0,7101
	0,8571	0,8499	0,7847	0,7455	0,7960	0,6495	0,7923
	0,6317	0,6508	0,6672	0,5703	0,7242	0,5893	0,6582
	0,6706	0,6690	0,6901	0,5868	0,5965	0,5473	0,6734
	0,6518	0,6484	0,7610	0,6934	0,6756	0,7083	0,7432
	0,7139	0,6058	0,6543	0,6633	0,7058	0,6696	0,6850
	0,5279	0,5475	0,6950	0,6097	0,5967	0,5840	0,6182
	0,7953	0,8617	0,7403	0,6368	0,7632	0,6282	0,7212
	0,7613	0,7006	0,6422	0,6867	0,7174	0,6701	0,7383
	0,7162	0,6449	0,5808	0,5101	0,5727	0,5874	0,6669
	0,7897	0,7433	0,7680	0,6292	0,7720	0,7762	0,8457
	0,7017	0,5848	0,6754	0,5351	0,5414	0,5795	0,6799
	0,7501	0,7599	0,6156	0,5796	0,6496	0,6586	0,7853
	0,7999	0,6985	0,7441	0,5997	0,6444	0,6789	0,7412
	0,7611	0,7965	0,6457	0,7300	0,7400	0,6879	0,7739
	0,7664	0,7289	0,7175	0,6770	0,7287	0,7237	0,8060
	0,6520	0,6616	0,6786	0,6385	0,5855	0,6245	0,6233
	0,7210	0,7012	0,6368	0,5338	0,6417	0,6165	0,7248
	0,7202	0,7112	0,6331	0,7258	0,6588	0,6957	0,7279
	0,5899	0,6335	0,6427	0,6692	0,6364	0,6555	0,6447
	0,7288	0,7048	0,7475	0,8958	0,8388	0,8302	0,8606
	0,7711	0,7331	0,7055	0,7132	0,7350	0,7471	0,7863
	0,7228	0,6707	0,6034	0,6806	0,5755	0,6971	0,7459
	0,7267	0,6503	0,7230	0,6508	0,7082	0,7618	0,7550
	0,7438	0,7796	0,7504	0,6486	0,7170	0,6223	0,7572
$\hat{\mu}$	0,7188	0,7005	0,6922	0,6441	0,6893	0,6742	0,7334
$\hat{\sigma}$	0,0702	0,0744	0,0624	0,0809	0,0808	0,0778	0,0659

(b) ROC AUC

Table C.39: Data-set `seismic` classification performance on the 10×3 test-set folds

	[Transduc]	[Freeze]	[Ext]	[Hybrid]	[Simple]	[Self]	[Induc]
	0,8681	0,8611	0,8611	0,8773	0,8796	0,8750	0,8796
	0,8938	0,8872	0,8960	0,9115	0,9049	0,8982	0,9093
	0,8844	0,8223	0,8801	0,8715	0,8844	0,8715	0,8908
	0,8676	0,8676	0,8629	0,8723	0,8653	0,8794	0,8771
	0,8904	0,8767	0,8676	0,8881	0,8858	0,8653	0,8927
	0,8846	0,8376	0,8910	0,8910	0,9017	0,8803	0,8846
	0,8925	0,8925	0,8905	0,8905	0,9006	0,8925	0,9047
	0,8745	0,8766	0,8638	0,8851	0,8872	0,8830	0,8936
	0,8760	0,8760	0,8720	0,9045	0,8984	0,9004	0,8923
	0,8884	0,8884	0,8906	0,9099	0,9163	0,8927	0,9163
	0,8670	0,8519	0,8820	0,8884	0,9034	0,8798	0,8949
	0,8658	0,8658	0,8420	0,8810	0,8701	0,8615	0,8831
	0,8911	0,8111	0,8622	0,8711	0,8756	0,8844	0,8844
	0,8592	0,8902	0,8473	0,8711	0,8783	0,8592	0,8878
	0,8773	0,8524	0,8877	0,8358	0,8981	0,8857	0,8981
	0,8692	0,8523	0,8587	0,8924	0,8840	0,8608	0,8776
	0,8793	0,8858	0,8772	0,8966	0,8987	0,8987	0,8966
	0,8887	0,8619	0,8516	0,8825	0,8866	0,8742	0,8784
	0,8784	0,8952	0,8742	0,8784	0,8910	0,8784	0,8826
	0,8771	0,8865	0,8700	0,8865	0,9007	0,8794	0,9007
	0,8538	0,8703	0,8585	0,8821	0,8797	0,8561	0,8821
	0,9061	0,9061	0,8756	0,8967	0,9085	0,8967	0,9061
	0,8525	0,8249	0,8502	0,8548	0,8733	0,8733	0,8733
	0,8717	0,8900	0,8595	0,8778	0,8900	0,8839	0,8941
	0,8934	0,8316	0,8977	0,8849	0,9041	0,8955	0,9083
	0,8983	0,8920	0,8771	0,9131	0,9322	0,9089	0,9237
	0,8729	0,8835	0,8750	0,8792	0,8814	0,8623	0,8792
	0,8747	0,8727	0,8706	0,8973	0,9014	0,8912	0,9076
	0,8928	0,8928	0,8840	0,9212	0,9169	0,9103	0,9081
	0,8422	0,8486	0,8529	0,8785	0,8806	0,8571	0,8678
$\hat{\mu}$	0,8777	0,8684	0,8710	0,8857	0,8926	0,8812	0,8925
$\hat{\sigma}$	0,0147	0,0246	0,0150	0,0173	0,0153	0,0153	0,0137

(a) accuracy

	[Transduc]	[Freeze]	[Ext]	[Hybrid]	[Simple]	[Self]	[Induc]
	0,9424	0,9375	0,9327	0,9490	0,9551	0,9422	0,9537
	0,9385	0,9333	0,9485	0,9502	0,9512	0,9403	0,9480
	0,9395	0,9074	0,9277	0,9338	0,9521	0,9293	0,9535
	0,9337	0,9323	0,9350	0,9398	0,9533	0,9382	0,9482
	0,9425	0,9405	0,9351	0,9413	0,9508	0,9311	0,9482
	0,9418	0,9143	0,9427	0,9452	0,9549	0,9387	0,9562
	0,9582	0,9570	0,9574	0,9631	0,9651	0,9550	0,9687
	0,9494	0,9493	0,9319	0,9452	0,9551	0,9356	0,9546
	0,9525	0,9481	0,9456	0,9618	0,9600	0,9513	0,9595
	0,9458	0,9436	0,9482	0,9482	0,9494	0,9382	0,9480
	0,9384	0,9416	0,9499	0,9523	0,9593	0,9425	0,9594
	0,9437	0,9468	0,9413	0,9362	0,9424	0,9260	0,9503
	0,9413	0,8995	0,9453	0,9320	0,9373	0,9409	0,9435
	0,9393	0,9458	0,9322	0,9389	0,9440	0,9205	0,9498
	0,9353	0,9156	0,9438	0,9135	0,9547	0,9481	0,9500
	0,9262	0,9201	0,9357	0,9469	0,9456	0,9367	0,9447
	0,9407	0,9509	0,9512	0,9469	0,9512	0,9396	0,9538
	0,9280	0,9296	0,9240	0,9438	0,9416	0,9366	0,9433
	0,9478	0,9575	0,9388	0,9429	0,9522	0,9312	0,9414
	0,9546	0,9561	0,9403	0,9553	0,9644	0,9446	0,9581
	0,9150	0,9172	0,9165	0,9265	0,9323	0,9248	0,9368
	0,9545	0,9512	0,9574	0,9490	0,9612	0,9530	0,9644
	0,9297	0,9137	0,9326	0,9235	0,9449	0,9284	0,9469
	0,9423	0,9419	0,9373	0,9555	0,9593	0,9457	0,9603
	0,9531	0,9278	0,9501	0,9489	0,9661	0,9472	0,9656
	0,9534	0,9529	0,9471	0,9657	0,9656	0,9654	0,9701
	0,9379	0,9432	0,9417	0,9385	0,9423	0,9354	0,9444
	0,9423	0,9453	0,9347	0,9447	0,9480	0,9287	0,9494
	0,9522	0,9506	0,9407	0,9596	0,9644	0,9502	0,9637
	0,9207	0,9209	0,9252	0,9364	0,9320	0,9273	0,9409
$\hat{\mu}$	0,9414	0,9364	0,9397	0,9445	0,9519	0,9391	0,9525
$\hat{\sigma}$	0,0103	0,0162	0,0097	0,0117	0,0095	0,0102	0,0086

(b) ROC AUC

Table C.40: Data-set `spam` classification performance on the 10×3 test-set folds

	[Transduc]	[Freeze]	[Ext]	[Hybrid]	[Simple]	[Self]	[Induc]
	0,8333	0,8333	0,8333	0,8333	0,8125	0,8333	0,8125
	0,8462	0,8462	0,8462	0,8462	0,8308	0,8462	0,8154
	0,7955	0,7955	0,7955	0,7955	0,7955	0,7955	0,7955
	0,8222	0,8667	0,8889	0,8889	0,8889	0,8889	0,8444
	0,8302	0,8302	0,8302	0,8302	0,8113	0,8302	0,8302
	0,7727	0,7727	0,7727	0,7727	0,7727	0,7727	0,7727
	0,9348	0,9348	0,9348	0,9348	0,9348	0,9348	0,9348
	0,7241	0,7241	0,7241	0,7241	0,7241	0,7241	0,6897
	0,9074	0,9074	0,9074	0,9074	0,8704	0,8889	0,8519
	0,9286	0,9286	0,9286	0,9286	0,9286	0,9286	0,9286
	0,7083	0,7083	0,7083	0,7083	0,7083	0,6667	0,6875
	0,8095	0,8095	0,8095	0,8095	0,8095	0,8095	0,8095
	0,8108	0,8108	0,8108	0,8108	0,8108	0,8108	0,8108
	0,8367	0,8367	0,8367	0,8367	0,8367	0,8367	0,8367
	0,9130	0,9130	0,9130	0,9130	0,9130	0,8913	0,9348
	0,9184	0,9388	0,9388	0,9388	0,9388	0,9388	0,9388
	0,8974	0,8974	0,8974	0,8974	0,8974	0,8718	0,8974
	0,8750	0,8750	0,8750	0,8750	0,8750	0,8750	0,8750
	0,8864	0,8864	0,8864	0,8864	0,8864	0,8636	0,8636
	0,8333	0,8333	0,8333	0,8333	0,8333	0,8167	0,8167
	0,9048	0,9048	0,9048	0,9048	0,9048	0,9048	0,9048
	0,9091	0,9091	0,9091	0,9091	0,9091	0,9091	0,9091
	0,9273	0,9273	0,9273	0,9273	0,9273	0,9273	0,9273
	0,8605	0,8605	0,8605	0,8605	0,8605	0,8605	0,8605
	0,8947	0,8947	0,8947	0,8947	0,8947	0,8421	0,8684
	0,7885	0,7885	0,7885	0,7885	0,7885	0,7885	0,7885
	0,7500	0,7500	0,7500	0,7500	0,7500	0,7500	0,7500
	0,7917	0,7917	0,7917	0,7917	0,7917	0,7917	0,7917
	0,8293	0,8293	0,8293	0,8293	0,8293	0,8293	0,8293
	0,8571	0,8571	0,8571	0,8571	0,8571	0,8571	0,8571
$\hat{\mu}$	0,8466	0,8487	0,8495	0,8495	0,8464	0,8428	0,8411
$\hat{\sigma}$	0,0620	0,0628	0,0631	0,0631	0,0630	0,0642	0,0665

(a) accuracy

	[Transduc]	[Freeze]	[Ext]	[Hybrid]	[Simple]	[Self]	[Induc]
	0,6156	0,5844	0,5438	0,3484	0,5266	0,5266	0,5219
	0,3909	0,3891	0,5382	0,4336	0,5127	0,4755	0,4527
	0,6508	0,6571	0,5333	0,5222	0,6603	0,7318	0,7333
	0,5700	0,5600	0,7050	0,7150	0,7200	0,7400	0,6800
	0,4394	0,4748	0,5126	0,5707	0,4343	0,5530	0,5480
	0,5647	0,5794	0,5382	0,5279	0,6412	0,5941	0,5882
	0,6512	0,5969	0,3411	0,6977	0,5271	0,4767	0,5969
	0,7619	0,7738	0,6548	0,7292	0,6726	0,6875	0,8155
	0,4000	0,4286	0,6367	0,7265	0,6327	0,7204	0,6408
	0,2821	0,1709	0,2222	0,2949	0,2821	0,1752	0,2906
	0,6156	0,6219	0,6113	0,6124	0,6544	0,5777	0,5420
	0,6250	0,5956	0,6544	0,6544	0,5735	0,5901	0,5515
	0,7191	0,5333	0,6952	0,5500	0,5714	0,6381	0,6476
	0,4604	0,5244	0,5579	0,5244	0,6281	0,5960	0,5793
	0,5893	0,5298	0,4643	0,5238	0,5595	0,5119	0,5714
	0,1159	0,8333	0,5580	0,6159	0,5362	0,7935	0,6739
	0,5429	0,3214	0,7286	0,7464	0,7429	0,7786	0,7643
	0,7026	0,3790	0,4315	0,3892	0,5175	0,4286	0,3703
	0,6974	0,6410	0,4564	0,6154	0,5436	0,6051	0,6667
	0,5900	0,4520	0,5080	0,5850	0,5130	0,5420	0,4930
	0,6118	0,7500	0,6382	0,4934	0,5855	0,4605	0,4868
	0,4938	0,2875	0,6875	0,5063	0,5813	0,5750	0,6500
	0,6912	0,3824	0,4804	0,5221	0,5417	0,6789	0,5049
	0,5090	0,4505	0,3919	0,6081	0,4887	0,5721	0,5000
	0,4779	0,4485	0,5735	0,5662	0,3971	0,4375	0,4485
	0,4479	0,5565	0,2749	0,5189	0,4512	0,4690	0,4767
	0,7218	0,5978	0,6088	0,5455	0,6612	0,6970	0,6198
	0,6526	0,6079	0,3684	0,6145	0,6697	0,6250	0,5566
	0,5420	0,5546	0,4118	0,4538	0,5483	0,4496	0,5336
	0,6975	0,7058	0,6317	0,6317	0,7161	0,6214	0,6214
$\hat{\mu}$	0,5610	0,5329	0,5320	0,5614	0,5697	0,5776	0,5709
$\hat{\sigma}$	0,1424	0,1465	0,1287	0,1099	0,1015	0,1285	0,1119

(b) ROC AUC

Table C.41: Data-set `thoracic` classification performance on the 10×3 test-set folds

	[Transduc]	[Freeze]	[Ext]	[Hybrid]	[Simple]	[Self]	[Induc]
	0,4375	0,4531	0,7031	0,7656	0,7813	0,7656	0,7344
	0,5797	0,5652	0,7536	0,7826	0,7536	0,7536	0,7536
	0,5313	0,5469	0,7500	0,7656	0,8125	0,7969	0,8594
	0,5467	0,5333	0,7467	0,7600	0,7867	0,7600	0,8267
	0,5069	0,5069	0,7260	0,7534	0,7397	0,7534	0,7671
	0,5238	0,5238	0,7143	0,6984	0,7143	0,6508	0,6825
	0,5000	0,5000	0,8281	0,7813	0,7813	0,7656	0,8281
	0,6061	0,6818	0,8485	0,7727	0,7273	0,7424	0,7424
	0,5455	0,5455	0,8701	0,7273	0,8052	0,8052	0,7662
	0,6167	0,6167	0,7333	0,7500	0,7333	0,7333	0,7333
	0,5075	0,6866	0,8060	0,8508	0,8358	0,8209	0,8209
	0,5231	0,5692	0,7846	0,8462	0,8308	0,7539	0,8462
	0,7500	0,5500	0,7500	0,8167	0,8167	0,8167	0,8333
	0,7042	0,5070	0,8028	0,8028	0,8310	0,8592	0,8592
	0,5385	0,6000	0,7385	0,8000	0,7692	0,7077	0,7846
	0,6667	0,4286	0,7302	0,7778	0,7460	0,6825	0,7778
	0,5714	0,5974	0,7662	0,7403	0,7403	0,7013	0,7533
	0,6351	0,5270	0,7568	0,8108	0,8243	0,8108	0,8378
	0,7612	0,4925	0,7910	0,8209	0,8508	0,8358	0,8209
	0,6667	0,5303	0,7424	0,8939	0,8788	0,8333	0,8939
	0,5161	0,5484	0,7258	0,7419	0,7097	0,7097	0,7581
	0,4054	0,4595	0,7027	0,7568	0,7162	0,7703	0,7703
	0,5857	0,6143	0,7000	0,8000	0,7286	0,7714	0,7857
	0,5286	0,5571	0,7714	0,8000	0,7714	0,7571	0,7429
	0,4583	0,6250	0,7361	0,7361	0,7500	0,6944	0,7500
	0,6164	0,5616	0,6849	0,7808	0,7671	0,7123	0,7808
	0,5846	0,5846	0,6308	0,7539	0,7231	0,7385	0,7231
	0,7222	0,5000	0,8148	0,7963	0,8148	0,6852	0,8148
	0,5000	0,5735	0,7059	0,7500	0,8088	0,7059	0,7647
	0,6716	0,5522	0,7910	0,8508	0,8508	0,8060	0,8060
$\hat{\mu}$	0,5769	0,5513	0,7535	0,7828	0,7800	0,7567	0,7873
$\hat{\sigma}$	0,0901	0,0598	0,0512	0,0424	0,0476	0,0523	0,0483

(a) accuracy

	[Transduc]	[Freeze]	[Ext]	[Hybrid]	[Simple]	[Self]	[Induc]
	0,2375	0,2460	0,5189	0,6388	0,6540	0,6201	0,6187
	0,2910	0,2835	0,6796	0,7489	0,7038	0,7038	0,7027
	0,2991	0,3740	0,6314	0,7160	0,7953	0,7072	0,8531
	0,3982	0,3628	0,6635	0,7299	0,7410	0,7348	0,7854
	0,2842	0,3046	0,6490	0,6715	0,6759	0,6703	0,6666
	0,3378	0,3378	0,5658	0,5032	0,6243	0,4859	0,4972
	0,3410	0,3387	0,7637	0,6983	0,7387	0,6950	0,7722
	0,3869	0,4604	0,7727	0,6467	0,6372	0,6247	0,6133
	0,3128	0,3128	0,7080	0,6036	0,6569	0,6610	0,6310
	0,3553	0,3553	0,6200	0,7497	0,6319	0,6230	0,7222
	0,4550	0,4533	0,6590	0,8318	0,8020	0,7389	0,7622
	0,4118	0,3096	0,7275	0,8117	0,7563	0,7046	0,8033
	0,7216	0,3056	0,6873	0,8365	0,8365	0,8109	0,8499
	0,5884	0,3132	0,6480	0,8006	0,8492	0,7733	0,8405
	0,5407	0,4260	0,6160	0,7094	0,6891	0,6504	0,6830
	0,4704	0,2796	0,5962	0,6957	0,6663	0,5950	0,7244
	0,5073	0,4437	0,6707	0,6994	0,7048	0,6760	0,7455
	0,5525	0,3148	0,6936	0,8403	0,8526	0,8325	0,8697
	0,6002	0,2701	0,6548	0,8108	0,8339	0,8412	0,7486
	0,5719	0,3863	0,6127	0,8642	0,8591	0,8258	0,8779
	0,3455	0,2892	0,5577	0,6704	0,5889	0,6213	0,6827
	0,3470	0,3727	0,5758	0,6892	0,6438	0,7002	0,7240
	0,4183	0,4208	0,5671	0,7439	0,5650	0,6745	0,7255
	0,3407	0,3166	0,6543	0,6859	0,7229	0,6519	0,6223
	0,2894	0,3911	0,6029	0,6666	0,6707	0,5950	0,6617
	0,4829	0,3947	0,5321	0,7772	0,7411	0,6353	0,7622
	0,4340	0,3638	0,4595	0,6021	0,5545	0,5702	0,5485
	0,5136	0,2985	0,7237	0,7230	0,7361	0,5785	0,7257
	0,2853	0,3833	0,5881	0,7426	0,8202	0,6377	0,7589
	0,4473	0,3360	0,7061	0,8313	0,8643	0,7128	0,7890
$\hat{\mu}$	0,4189	0,3482	0,6369	0,7246	0,7205	0,6784	0,7256
$\hat{\sigma}$	0,1171	0,0570	0,0728	0,0831	0,0913	0,0831	0,0925

(b) F-measure

Table C.42: Data-set `urban` classification performance on the 10×3 test-set folds

	[Transduc]	[Freeze]	[Ext]	[Hybrid]	[Simple]	[Self]	[Induc]
	0,7584	0,7640	0,8371	0,7416	0,8371	0,8146	0,8483
	0,7821	0,7821	0,8718	0,7821	0,8910	0,8846	0,8910
	0,8467	0,8600	0,8800	0,8200	0,8533	0,8600	0,8800
	0,8345	0,8345	0,8897	0,8138	0,9035	0,8828	0,8759
	0,8813	0,8813	0,8813	0,8250	0,8938	0,8688	0,8813
	0,8032	0,8032	0,8740	0,7717	0,8740	0,8583	0,8583
	0,7794	0,7794	0,8456	0,7647	0,8235	0,8382	0,8603
	0,8592	0,8521	0,9085	0,8310	0,8873	0,8803	0,8944
	0,8467	0,8467	0,9200	0,8467	0,9133	0,8867	0,8867
	0,8333	0,8526	0,8910	0,8077	0,8718	0,8526	0,8654
	0,8182	0,8671	0,9161	0,8182	0,9231	0,8392	0,8881
	0,7823	0,7959	0,8231	0,7823	0,8163	0,7959	0,8299
	0,8227	0,8511	0,9149	0,8227	0,9362	0,9078	0,9078
	0,8046	0,8276	0,8736	0,8046	0,8793	0,8448	0,8621
	0,7669	0,8160	0,8344	0,7669	0,8282	0,8344	0,8405
	0,8367	0,8776	0,8980	0,8367	0,9184	0,8503	0,8912
	0,7885	0,7885	0,8718	0,7885	0,8718	0,8654	0,8654
	0,8158	0,8158	0,9145	0,8158	0,8882	0,8750	0,8882
	0,7619	0,7698	0,9048	0,7619	0,9048	0,8810	0,9127
	0,8013	0,8013	0,8808	0,8013	0,8874	0,8411	0,9007
	0,8069	0,8276	0,8759	0,8069	0,8966	0,8690	0,9035
	0,7602	0,7602	0,8655	0,7602	0,8714	0,8304	0,8597
	0,8671	0,8861	0,9494	0,8671	0,9367	0,8987	0,9430
	0,7533	0,7867	0,8133	0,7533	0,8200	0,8000	0,8267
	0,8493	0,8425	0,9452	0,8425	0,9452	0,9041	0,9315
	0,7848	0,8165	0,8671	0,7848	0,8734	0,8228	0,8734
	0,8527	0,8915	0,9147	0,8527	0,9070	0,8992	0,8992
	0,7829	0,7895	0,8947	0,7829	0,8882	0,8355	0,8618
	0,7771	0,7962	0,8471	0,7771	0,8217	0,8153	0,8344
	0,7836	0,8060	0,8433	0,7836	0,8806	0,8134	0,8508
$\hat{\mu}$	0,8080	0,8223	0,8816	0,8005	0,8814	0,8550	0,8771
$\hat{\sigma}$	0,0360	0,0381	0,0340	0,0321	0,0360	0,0315	0,0284

(a) accuracy

	[Transduc]	[Freeze]	[Ext]	[Hybrid]	[Simple]	[Self]	[Induc]
	0,9888	0,9839	0,9118	0,8352	0,9053	0,8489	0,9237
	0,9940	0,9949	0,9855	0,8685	0,9634	0,8924	0,9455
	0,9609	0,9606	0,9416	0,8529	0,9026	0,8753	0,9158
	0,9950	0,9940	0,9670	0,8985	0,9594	0,9308	0,9377
	0,9532	0,9380	0,9444	0,8938	0,9382	0,8381	0,9098
	0,9873	0,9880	0,9599	0,8804	0,9509	0,9010	0,9587
	0,9832	0,9766	0,9389	0,8338	0,8849	0,8448	0,9120
	0,9922	0,9922	0,9658	0,8515	0,9407	0,8927	0,9449
	0,9952	0,9956	0,9706	0,8530	0,9356	0,8911	0,9245
	0,9968	0,9931	0,9352	0,8253	0,9081	0,8687	0,9099
	0,9783	0,9760	0,9267	0,8531	0,9186	0,8917	0,9114
	0,9557	0,9525	0,8678	0,8014	0,8572	0,7900	0,8652
	0,9924	0,9745	0,9148	0,8148	0,9209	0,8810	0,9048
	0,9878	0,9893	0,9273	0,7880	0,9066	0,8548	0,8565
	0,9747	0,9819	0,9183	0,7970	0,9084	0,8846	0,8900
	0,9949	0,9973	0,9402	0,8172	0,9394	0,8662	0,9124
	0,9714	0,9692	0,8862	0,8086	0,9087	0,8579	0,8916
	0,9824	0,9902	0,9423	0,8465	0,9142	0,8754	0,8962
	0,9976	1,0000	0,9896	0,8668	0,9604	0,9248	0,9649
	0,9884	0,9857	0,9172	0,8090	0,9003	0,8479	0,8990
	0,9676	0,9667	0,9133	0,7990	0,9090	0,8466	0,9054
	0,9839	0,9775	0,9448	0,8277	0,9334	0,8681	0,9344
	1,0000	0,9993	0,9875	0,8019	0,9767	0,8853	0,9743
	0,9799	0,9744	0,9369	0,7956	0,8764	0,8352	0,8907
	0,9880	0,9845	0,9648	0,8943	0,9152	0,9173	0,9320
	0,9848	0,9801	0,9594	0,7901	0,9415	0,8980	0,9202
	0,9780	0,9546	0,9445	0,7775	0,9254	0,8474	0,9278
	0,9796	0,9812	0,9486	0,7193	0,9081	0,8261	0,9114
	0,9993	0,9881	0,9258	0,7446	0,9241	0,8033	0,9251
	0,9875	0,9898	0,9616	0,8138	0,9470	0,8739	0,9361
$\hat{\mu}$	0,9840	0,9810	0,9413	0,8253	0,9227	0,8686	0,9177
$\hat{\sigma}$	0,0124	0,0149	0,0281	0,0424	0,0267	0,0328	0,0264

(b) ROC AUC

Table C.43: Data-set usps classification performance on the 10×3 test-set folds

	[Transduc]	[Freeze]	[Ext]	[Hybrid]	[Simple]	[Self]	[Induc]
	0,9594	0,9594	0,9594	0,9777	0,9676	0,9817	0,9817
	0,9297	0,9297	0,9297	0,9560	0,9297	0,9692	0,9758
	0,9453	0,9453	0,9434	0,9648	0,9453	0,9707	0,9785
	0,9372	0,9372	0,9372	0,9524	0,9351	0,9610	0,9589
	0,9452	0,9452	0,9452	0,9578	0,9473	0,9726	0,9726
	0,9480	0,9480	0,9480	0,9813	0,9501	0,9834	0,9855
	0,9477	0,9477	0,9477	0,9630	0,9499	0,9739	0,9695
	0,9415	0,9415	0,9415	0,9677	0,9436	0,9657	0,9677
	0,9500	0,9500	0,9500	0,9620	0,9480	0,9760	0,9860
	0,9546	0,9546	0,9546	0,9763	0,9586	0,9862	0,9862
	0,9619	0,9619	0,9619	0,9699	0,9619	0,9780	0,9900
	0,9461	0,9461	0,9461	0,9689	0,9481	0,9751	0,9751
	0,9448	0,9448	0,9448	0,9597	0,9469	0,9660	0,9703
	0,9391	0,9391	0,9391	0,9559	0,9391	0,9622	0,9664
	0,9354	0,9354	0,9354	0,9576	0,9374	0,9636	0,9737
	0,9384	0,9384	0,9384	0,9618	0,9384	0,9660	0,9724
	0,9184	0,9184	0,9184	0,9456	0,9184	0,9561	0,9582
	0,9675	0,9675	0,9675	0,9762	0,9675	0,9784	0,9805
	0,9468	0,9468	0,9468	0,9638	0,9468	0,9660	0,9660
	0,9608	0,9608	0,9608	0,9813	0,9626	0,9832	0,9888
	0,9548	0,9548	0,9548	0,9589	0,9528	0,9610	0,9713
	0,9374	0,9374	0,9374	0,9582	0,9397	0,9838	0,9745
	0,9434	0,9434	0,9434	0,9686	0,9434	0,9874	0,9853
	0,9473	0,9473	0,9473	0,9648	0,9531	0,9727	0,9824
	0,9610	0,9610	0,9610	0,9654	0,9610	0,9805	0,9784
	0,9336	0,9336	0,9336	0,9491	0,9336	0,9757	0,9845
	0,9441	0,9441	0,9441	0,9538	0,9441	0,9692	0,9788
	0,9505	0,9505	0,9505	0,9615	0,9505	0,9688	0,9835
	0,9409	0,9409	0,9387	0,9541	0,9409	0,9672	0,9759
	0,9457	0,9457	0,9457	0,9557	0,9457	0,9658	0,9718
$\hat{\mu}$	0,9459	0,9459	0,9457	0,9630	0,9469	0,9722	0,9763
$\hat{\sigma}$	0,0104	0,0104	0,0105	0,0091	0,0110	0,0083	0,0083

(a) accuracy

	[Transduc]	[Freeze]	[Ext]	[Hybrid]	[Simple]	[Self]	[Induc]
	0,8816	0,8988	0,9836	0,9347	0,9496	0,9928	0,9956
	0,7556	0,7965	0,9896	0,9590	0,9617	0,9613	0,9880
	0,8327	0,8204	0,9733	0,9242	0,9452	0,9692	0,9677
	0,7370	0,7133	0,9782	0,9062	0,9078	0,9466	0,9755
	0,7881	0,7730	0,9685	0,8761	0,8767	0,9414	0,9804
	0,8036	0,7748	0,9763	0,9542	0,9520	0,9770	0,9704
	0,7921	0,7639	0,9607	0,8879	0,8924	0,9355	0,9807
	0,8077	0,8203	0,9583	0,9017	0,9169	0,8939	0,9768
	0,7944	0,7655	0,9670	0,9190	0,9573	0,9680	0,9797
	0,7595	0,7231	0,9862	0,9691	0,9460	0,9712	0,9931
	0,6990	0,7225	0,9750	0,9305	0,9303	0,9956	0,9973
	0,8167	0,8377	0,9647	0,9055	0,9153	0,9082	0,9588
	0,7936	0,7904	0,9613	0,9205	0,9179	0,9833	0,9847
	0,7655	0,7374	0,9642	0,8907	0,9193	0,9079	0,9335
	0,8203	0,8181	0,9748	0,9081	0,9594	0,9722	0,9870
	0,7863	0,8118	0,9899	0,9489	0,9714	0,9631	0,9873
	0,7622	0,7687	0,9644	0,9426	0,9413	0,9233	0,9681
	0,8623	0,8735	0,9700	0,9439	0,9411	0,8788	0,9653
	0,7949	0,7775	0,9604	0,9274	0,9212	0,9535	0,9610
	0,7234	0,7277	0,9591	0,8937	0,8887	0,8941	0,9171
	0,8502	0,8230	0,9474	0,9008	0,9178	0,9590	0,9863
	0,7994	0,7973	0,9758	0,8391	0,9119	0,9349	0,9859
	0,7450	0,7517	0,9756	0,9362	0,9459	0,9732	0,9970
	0,8483	0,8468	0,9757	0,9439	0,9393	0,9297	0,9898
	0,6766	0,6319	0,9475	0,9178	0,9159	0,9002	0,9461
	0,8209	0,7638	0,9908	0,9523	0,9510	0,9771	0,9915
	0,7665	0,7790	0,9657	0,8500	0,8640	0,8833	0,9830
	0,8323	0,8343	0,9824	0,9136	0,9713	0,9528	0,9713
	0,8205	0,7938	0,9525	0,8220	0,9103	0,9376	0,9896
	0,8326	0,7581	0,9666	0,8878	0,8865	0,9130	0,9780
$\hat{\mu}$	0,7923	0,7832	0,9702	0,9136	0,9275	0,9433	0,9762
$\hat{\sigma}$	0,0472	0,0530	0,0118	0,0352	0,0280	0,0335	0,0185

(b) ROC AUC

Table C.44: Data-set `wilt` classification performance on the 10×3 test-set folds